

**KARAKTERISASI STRUKTUR KRISTAL DAN
KANDUNGAN MINERAL BATUAN SEDIMEN
DI KELURAHAN LEANG-LEANG KECAMATAN
BANTIMURUNG KABUPATEN MAROS**



SKRIPSI

Diajukan Untuk Memenuhi Salah Satu Syarat Meraih Gelar Sarjana Sains
Jurusan Fisika Fakultas Sains dan Teknologi
UIN Alauddin Makassar

UNIVERSITAS ISLAM NEGERI
ALAUDDIN
M A K A S S A R

Oleh:
MEILDASARY ROMAN
NIM:60400114019

**FAKULTAS SAINS DAN TEKNOLOGI
UIN ALAUDDIN MAKASSAR
2018**

SURAT PERNYATAAN KEASLIAN SKRIPSI

Mahasiswa yang bertanda tangan di bawah ini:

Nama : Meildasary Roman
NIM : 60400114019
Tempat/Tgl.Lahir : Kendari/27 Mei 1996
Jur/Prodi/Konsentrasi : Fisika
Fakultas/Program : Sains dan Teknologi
Judul : Karakterisasi Struktur Kristal Dan Kandungan Mineral
Batuan Sedimen di Kelurahan Leang-Leang Kecamatan
Bantimurung Kabupaten Maros.
Alamat : Samata-Gowa

Menyatakan dengan sesungguhnya dan penuh kesadaran bahwa skripsi ini benar adalah karya sendiri. Jika kemudian hari terbukti bahwa skripsi ini merupakan duplikat, tiruan, atau dibuat oleh orang lain, sebagian atau seluruhnya, maka skripsi dan gelar yang diperoleh karenanya batal demi hukum.

Makassar, Juli 2018

Penyusun,


MEILDASARY ROMAN
NIM: 60400114019

PENGESAHAN SKRIPSI

Skripsi yang berjudul "Karakterisasi Struktur Kristal Dan Kandungan Mineral Batuan Sedimen Di Kelurahan Leang-Leang Kecamatan Bantimurung Kabupaten Maros", Yang disusun oleh saudari Melidiasary Roman, Nim:60400114019 Mahasiswi jurusan Fisika pada Fakultas Sains dan Teknologi UIN Alauddin Makassar, Telah diuji dan dipertahankan dalam munaqasyah yang diselenggarakan pada hari Senin 13 Agustus 2018 M, bertepatan dengan 1 Dzulhijjah 1439 H, dinyatakan telah dapat diterima sebagai salah satu syarat untuk meraih gelar Sarjana dalam Ilmu Sains dan Teknologi Jurusan Fisika (dengan beberapa perbaikan).

Makassar, 13 Agustus 2018 M
1 Dzulhijjah 1439 H

DEWAN PENGUJI

Ketua	: Dr. Ir. A. Suarda, M.Si	
Sekretaris	: Ihsan, S.Pd., M.Si	
Munaqisy I	: Hernawati, S.Pd., M.PfIs	
Munaqisy II	: Prof. Dr. H. Arifuddin, M.Ag	
Pembimbing I	: Muh. Said. L., S.Si., M.Pd	
Pembimbing II	: Fitriyanti, S.Si., M.Sc	

Diketahui oleh:

Dekan Fakultas Sains dan Teknologi
UIN Alauddin Makassar




Prof. Dr. H. Arifuddin, M.Ag
NIP:19691205 199303 1 001

KATA PENGANTAR

Alhamdulillah Rabbil Alaamiin, segala puji syukur tiada hentinya penulis haturkan kehadiran Allah swt yang Maha Pemberi petunjuk, anugerah dan nikmat yang diberikan-Nya sehingga penulis dapat menyelesaikan skripsi ini yang berjudul “Karakterisasi Struktur Kristal dan Kandungan Mineral Batuan Sedimen Di Kelurahan Leang-leang Kecamatan Bantimurung Kabupaten Maros”. Skripsi ini disusun dengan tujuan untuk memenuhi syarat sebagai tugas akhir dalam menyelesaikan Sarjana Sains (S.Si) Jurusan Fisika Fakultas Sains dan Teknologi UIN Alauddin Makassar.

Dalam menyusun skripsi ini, peneliti banyak menemukan hambatan dan kesulitan, tetapi berkat adanya bimbingan, pengarahan dan bantuan dari semua pihak, maka penelitian skripsi ini dapat diselesaikan. Untuk itu peneliti ingin menyampaikan ucapan terima kasih dan penghargaan setinggi-tingginya kepada ayahanda dan ibunda tercinta ROMAN dan NUR ALAM selaku orang tua yang tak henti-hentinya memberikan semangat dan doanya kepada peneliti selama penyusunan skripsi ini.

Selanjutnya ucapan terima kasih dan penghargaan yang sedalam-dalamnya, penulis sampaikan kepada:

1. Bapak **Prof. Dr. Musafir Pababbari, M.Si.**, selaku Rektor Universitas Islam Negeri Alauddin Makassar beserta Wakil Rektor I Bapak **Prof. Dr. Mardan, M.A**, Wakil Rektor II Bapak **Prof. Dr. H. Lomba Sultan, M.A**

dan Wakil Rektor III Ibu **Prof. Sitti Aisyah, M.A., Ph.D** segala fasilitas yang diberikan membantu Rektor I dalam menimba ilmu didalamnya.

2. Bapak **Prof. Dr. H. Arifuddin, M.Ag.**, selaku Dekan Fakultas Sains dan Teknologi sekaligus Penguji II, atas segala fasilitas yang diberikan dan senantiasa memberikan dorongan, bimbingan dan nasihat kepada penulis.
3. Para Civitas Akademik Fakultas Sains dan Teknologi yang telah membantu dalam pembuatan surat izin penelitian, Surat Keputusan (SK) sehingga penulis dapat melakukan penelitian ini.
4. Ibu **Sahara, S.Si. M.Sc., Ph.D** dan Bapak **Ihsan, S.Pd., M.Si** selaku Ketua dan Sekretaris Jurusan Fisika Fakultas Sains dan Teknologi UIN Alauddin Makassar yang senantiasa memberikan dorongan, bimbingan dan nasehat penyusunan skripsi ini.
5. Bapak **Muh. Said L, S.Si., M.Pd** dan Ibu **Fitriyanti, S.Si., M.Sc.**, selaku pembimbing I dan pembimbing II yang telah banyak meluangkan waktu untuk memberikan bimbingan, pengarahan, serta dorongan yang sangat berharga bagi penulis.
6. Ibu **Hernawati, S.Pd., M.Pfis** selaku penguji I yang senantiasa memberikan masukan kepada penulis untuk perbaikan skripsi ini.
7. Bapak dan Ibu Dosen Jurusan Fisika Fakultas Sains dan Teknologi yang segenap hati dan ketulusan memberikan banyak ilmu kepada penulis, sehingga penulis bisa menyelesaikan skripsi ini dengan baik.
8. Parnert saya **Waode Mutmainnah** dan spesial team Maros **Zainuddin, Mimi, Nurhalimah** yang telah membantu dan memberikan dorongan

dalam menyusun skripsi ini. Serta **Lorna, Riski Aulia, Rahayu Yuliastri Fadillah, Nadia Nurafiah,** dan **Nurul Amalia** yang setia menemani penulis.

9. Teman-teman sekelas penulis (**Fisika A angkatan 2014**) Jurusan Fisika yang selama ini membantu dan selalu memberikan semangat apabila penulis dilanda kesulitan, kalian sangat berarti dan akan terkenang selalu.
10. Teman-teman **INERS14** yang telah menemani hari-hari penulis sebagai mahasiswi Jurusan Fisika Fakultas Sains dan Teknologi yang telah membantu penulis selama masa studi terlebih lagi pada masa penyusunan skripsi ini.
11. Kakak tercintaku **Norma Hafsari R, S.Kep.**, dan adekku **Nur Aldoni** yang selalu memberikan kasih sayangnya kepada penulis, serta Bapak **Suseswan**.
12. Keluarga besarku, nenek, kakek, paman, bibi, dan sepupu-sepupuku yang tak henti-hentinya memberikan kasih sayang dan dukungannya kepada penulis.
13. Keluarga kecil **Battana Samata**, kakak **Tasril T. S.Pd**, kakak **Hildayanti S.Ak.**, kakak **Salmira S.E.**, kakak **Sutrino S.I.P.**, kakak **Saifullah S.I.P.**, kakak **Said, S.Pd.**, kakak **Safiril T, S.Pd.**, **Abd Wahab, Magfira Mustafa, Suriansa, Irpan Hairuddin, Ita Lestari,** dan **Jusmiati**.
14. Teman-teman KKN **Beleng Squad** yang memberikan dorongan dalam menyusun skripsi ini.

15. Teman-teman **MAN Baraka Science 2** yang telah membantu dalam pembuatan peta pada penelitian dan selalu memberikan dorongannya.

16. Semua pihak yang tidak dapat penulis sebutkan satu-persatu yang telah membantu kelancaran penyusunan skripsi ini.

Penulis menyadari sepenuhnya bahwa skripsi ini jauh dari kesempurnaan. Oleh karena itu, dengan kerendahan hati, penulis menerima saran dan kritik yang sifatnya konstruktif dari berbagai pihak demi kesempurnaan skripsi ini.

Akhirnya hanya kepada Allah swt, penulis memohon ridha dan magfirah-Nya, semoga segala dukungan serta bantuan semua pihak mendapat pahala yang berlipat ganda di sisi Allah swt, semoga karya ini dapat bermanfaat kepada para pembaca, Aamiin...

Wassalamu alaikum wr.wb

Makassar, 06 Juli 2018

Penulis

Meildasary Roman
NIM. 60400114019

DAFTAR ISI

JUDUL	
HALAMAN.....	i
PERNYATAAN KEASLIAN SKRIPSI.....	ii
KATA PENGANTAR.....	iii
DAFTAR ISI.....	iv
DAFTAR TABEL.....	v
DAFTAR GAMBAR.....	vi
DAFTAR GRAFIK.....	vii
DAFTAR LAMPIRAN	viii
ABSTRAK.....	ix
BAB I PENDAHULUAN.....	(1-7)
1.1.Latar Belakang.....	1
1.2.Rumusan Masalah.....	5
1.3.Tujuan Penelitian.....	5
1.4.Ruang Lingkup Penelitian.....	7
1.5.Manfaat Penelitian.....	7
BAB II KAJIAN PUSTAKA.....	(8-38)
2.1. Geologi Lokasi Penelitian.....	8
2.2. Batu Sedimen.....	22
2.3. Mineral.....	19
2.4. <i>X-Ray Diffraction (XRD)</i>	22

2.5. Struktur Kristal.....	28
2.6. Cara Mengenal Suatu Mineral.....	35
BAB III METODE PENELITIAN.....	(39-45)
3.1. Waktu dan Tempat Penelitian.....	39
3.2. Alat dan Bahan Penelitian.....	40
3.3. Prosedur Penelitian.....	40
3.4. Diagram Alir Penelitian.....	45
BAB IV HASIL PENELITIAN DAN PEMBAHASAN.....	(45-58)
4.1. Hasil Penelitian.....	36
4.2. Pembahasan.....	56
BAB V PENUTUP.....	(58-59)
5.1. Kesimpulan.....	58
5.2. Saran.....	59
DAFTAR PUSTAKA.....	(60-61)
RIWAYAT HIDUP.....
LAMPIRAN-LAMPIRAN.....



DAFTAR TABEL

No. Tabel	Keterangan Tabel	Halaman
2.1	Tujuh Sistem Kristal	29
3.1	Karakteristik Sampel Batuan Sedimen Dengan XRD	42
4.1	Hasil Karakteristik Struktur Kristal Dan Kandungan Mineral Batuan Sedimen Dengan Menggunakan <i>X-Ray Diffraction</i> (XRD)	50



DAFTAR GAMBAR

No. Gambar	Keterangan Gambar	Halaman
2.1	Peta Administrasi Kabupaten Maros	9
2.2	Struktur Perlapisan	13
2.3	Struktur Sedimen	18
2.4	Struktur Kristal CaCO_3	21
2.5	Skema Pembangkitan Sinar-X	23
2.6	XRD (<i>X-Ray Diffraction</i>)	25
2.7	Pengaruh Orientasi Bidang Pantul Dan Arah Datang Cahaya Terhadap Pembentukan Pola Bayangan	27
2.8	Pengaruh Orientasi Yang Sama Terhadap Pembentukan Pola Bayangan	27
2.9	Sumbu-Sumbu Dan Sudut-Sudut Antar Sumbu Kristal	29
2.10	Sistem Kubik	31
2.11	Sistem Monoklinik	31
2.12	Sistem Triklinik	32
2.13	Sistem Tetragonal	33
2.14	Sistem Orthorhombik	33
2.15	Sistem Hexagonal	34
3.1	Peta Lokasi Penelitian	39
3.2	Halaman Utama Untuk Memulai Software <i>Search-Match</i>	43
3.3	Proses Penginputan Data Mentah Hasil Difraksi Sinar-X Pada	

	<i>Software Search-Match</i>	43
3.4	Mengatur Tampilan Grafik Pada <i>Software Search-Match</i>	44
3.5	Mineral-Mineral Yang Cocok Dengan Puncak Grafik Dari Material hasil uji difraksi sinar-X pada <i>software Search-Match</i>	44
3.6	Bagan Alir Penelitian	45
4.1	Letak Titik-Titik Pengambilan Sampel	46
4.2	Kandungan Mineral Batuan Sedimen Untuk Sampel 4°58'50.162'' LS dan 119°40'18.291'' BT	51
4.3	Kandungan Mineral Batuan Sedimen Untuk Sampel 4°58'51.325'' LS dan 119°40'12.424'' BT	52
4.4	Kandungan Mineral Batuan Sedimen Untuk Sampel 4°58'46.164'' LS dan 119°40'25.443'' BT	52
4.5	Kandungan Mineral Batuan Sedimen Untuk Sampel 4°58'47.080'' LS dan 119°40'24.344'' BT	53
4.6	Kandungan Mineral Batuan Sedimen Untuk Sampel 4°58'53.799'' LS dan 119°40'11.980'' BT	53

DAFTAR GRAFIK

No. Grafik	Keterangan Grafik	Halaman
4.1	Hubungan Antara Intensitas Dan Sudut 2 Pada Sampel Batuan Di Titik 1	48
4.2	Hubungan Antara Intensitas Dan Sudut 2 Pada Sampel Batuan Di Titik 2	48
4.3	Hubungan Antara Intensitas Dan Sudut 2 Pada Sampel Batuan Di Titik 3	49
4.4	Hubungan Antara Intensitas Dan Sudut 2 Pada Sampel Batuan Di Titik 4	49
4.5	Hubungan Antara Intensitas Dan Sudut 2 Pada Sampel Batuan Di Titik 5	50

ABSTRAK

Nama : Meildasary Roman
NIM : 60400114019
Judul : Karakteristik Struktur Kristal Dan Kandungan Mineral Batuan Sedimen Di Kelurahan Leang-Leang Kecamatan Bantimurung Kabupaten Maros.

Penelitian ini bertujuan untuk mengetahui struktur kristal dan kandungan mineral batuan sedimen dengan menggunakan *X-Ray Diffraction* (XRD). Pengambilan sampel dilakukan dengan titik lima pengambilan sampel yang berbeda-beda. Hasil penelitian diperoleh struktur kristal batuan sedimen dengan puncak tertinggi yang dimiliki kelima Struktur kristal batuan sedimen dengan puncak tertinggi yang dimiliki sampel di titik 4°58'50.162" LS dan 119°40'18.291" BT, 4°58'46.164" LS and 119°40'25.443" BT, 4°58'47.080" LS and 119°40'24.344" BT and 4°58'53.799" LS and 119°40'11.980" BT yaitu struktur kristal Trigonal (*hexagonal-axes*) dan sampel di titik 4°58'51.325" LS and 119°40'12.424" BT yaitu struktur kristal *Monoclinic*. Untuk kandungan mineral pada puncak tertinggi sampel 4°58'50.162" LS and 119°40'18.291" BT ditemukan kalsium karbonat (84,7 %). Adapun kandungan mineral lainnya yang terdapat pada sampel 4°58'50.162" LS and 119°40'18.291" BT antara lain, Silika Oksida (10,0 %), Magnesium Oksida (3,0 %), Besi (1,5 %) dan Kalium (6,5 %). Puncak tertinggi sampel 4°58'51.325" LS and 119°40'12.424" BT ditemukan Silika Oksida yang berbeda dengan sampel 4°58'50.162" LS and 119°40'18.291" BT, 4°58'46.164" LS and 119°40'25.443" BT, 4°58'47.080" LS and 119°40'24.344" BT and 4°58'53.799" LS and 119°40'11.980" BT (80,1 %) dan kandungan mineral lainnya yang terdapat antara lain, Aluminium Oksida (16,3 %) dan *Magnetite* (3,6 %). Puncak tertinggi sampel 4°58'46.164" LS and 119°40'25.443" BT ditemukan Kalsium Karbonat (76,1 %) dan kandungan mineral lainnya yang terdapat antara lain, Silika Oksida (17,0 %) dan Magnesium Oksida (6,9 %). Selanjutnya puncak tertinggi sampel 4°58'47.080" LS and 119°40'24.344" BT ditemukan Kalsium Karbonat (88,7 %) dan kandungan mineral lainnya yang terdapat antara lain, Aluminium Oksida (9,8 %) dan Besi (1,5 %). Pada puncak tertinggi sampel 4°58'53.799" LS and 119°40'11.980" BT ditemukan Kalsium Karbonat (85,0 %) dan kandungan mineral lain, Silika Oksida (9,9 %) dan Besi (5,2 %).

Kata Kunci: Batuan sedimen, XRD, Struktur Kristal, CaCO₃

ABSTRACT

Nama : Meildasary Roman
NIM : 60400114019
Judul : Karakteristik Struktur Kristal Dan Kandungan Mineral Batuan Sedimen di Kelurahan Leang-Leang Kecamatan Bantimurung Kabupaten Maros.

This study aims to determine the structure of crystals and mineral content of sedimentary rocks using X-Ray Diffraction (XRD). Sampling was done with different sampling points. The result of this research is crystal structure of sediment rock with the highest peak of the five structures of sedimentary rock crystals with the highest peak owned by samples 4°58'50.162" LS and 119°40'18.291" BT, 4°58'46.164" LS and 119°40'25.443" BT, 4°58'47.080" LS and 119°40'24.344" BT and 4°58'53.799" LS and 119°40'11.980" BT ie Trigonal crystal structure (hexagonal-axes) and sample B is Monoclinic crystal structure. For mineral content at the highest peak of sample 4°58'50.162" LS and 119°40'18.291" BT found CaCO₃ as much as 84.7%. The other mineral content found in sample 4°58'50.162" LS and 119°40'18.291" BT, among others, (SiO₂) 10.0%, (MgO) 3.0%, (FeO₄) 1.5% and (K) 6.5%. The highest peak of sample 4°58'51.325" LS and 119°40'12.424" BT was found by Coesite (SiO₂) which was different from 80,1% 4°58'50.162" LS and 119°40'18.291" BT, 4°58'46.164" LS and 119°40'25.443" BT, 4°58'47.080" LS and 119°40'24.344" BT and 4°58'53.799" LS and 119°40'11.980" BT samples and other mineral content, among others, Corumdum (Al₂O₃) 16,3% and Magnetite (Fe₃O₄) 3,6 %. The highest peak of 4°58'46.164" LS and 119°40'25.443" BT sample found CaCO₃ as much as 76.1% and other mineral content contained, among others, (SiO₂) 17.0% and (MgO) 6.9%. Furthermore, the highest peak of 4°58'47.080" LS and 119°40'24.344" BT sample was found as much as 88,7% CaCO₃ and other mineral contents, among others, (Al₂O₃) 9,8% and (Fe₃O₄) 1,5%. At the highest peak of E sample found CaCO₃ as much as 85.0% and other mineral content, (SiO₂) 9.9% and (Fe₃O₄) 5.2%.

Keywords: Iron Sand, Iron Ore, XRD, Crystal Structure.

BAB I

PENDAHULUAN

1.1 Latar Belakang

Indonesia merupakan negara kepulauan yang berada pada posisi yang sangat strategis di daerah khatulistiwa yang menghubungkan benua Australia dan Asia serta samudra Pasifik dan Hindia. Iklimnya yang menyenangkan, kekayaan alamnya yang beragam menjadikan Indonesia sebagai suatu negara yang mempunyai potensi besar dalam sumber daya alam (SDA) untuk berkembang menjadi negara kuat di kawasan Asia-Pasifik (Suhadi dkk, 1998). Salah satu kekayaan alam Indonesia terletak di Sulawesi Selatan terkhusus di daerah Maros-Pangkep berupa batuan kars yang berdiri kokoh. Kawasan kars ini merupakan bagian dari hulu beberapa sungai besar, antara lain hulu sungai Pangkep, sungai Pute dan sungai Bantimurung Maros (Prawitosari, 2011).

Secara geografis kabupaten Maros merupakan salah satu kabupaten di provinsi Sulawesi Selatan terletak di bagian barat Sulawesi Selatan antara $5^{\circ}01'04.0''$ LS dan $119^{\circ}34'35.0''$ BT. Secara administrasi kabupaten Maros terdiri atas 14 kecamatan, 80 desa, dan 23 kelurahan. Dari 14 kecamatan tersebut satu diantaranya yaitu kecamatan Bantimurung yang merupakan lokasi penelitian tentang batuan sedimen. Karakteristik batuan yang berada di kecamatan ini terdiri atas jenis batuan beku/sedimen dan lapukannya.

Sebelumnya telah dilakukan penelitian mengenai umur batuan oleh Syarifuddin, Zakir dan Noor (2013), yang berjudul “Penentuan Umur Batuan Gamping Penyusun Gua Leang-Leang Melalui Pengukuran Aktivitas¹⁴C dengan

Metode LSC (*Liquid Scintillation Counting*)". Penelitian ini dilakukan dengan menggunakan sampel batuan gamping yang terdapat di gua Leang-Leang, kabupaten Maros. Batuan gamping (sedimen) merupakan salah satu sampel lingkungan dengan mineral penyusun berupa kalsit kalsium karbonat (CaCO_3) yang bersumber dari sisa-sisa flora dan fauna yang telah lapuk dan membatu. Preparasi sampel batuan gamping secara fisik dan kimia menggunakan campuran asam basa NaOH, H_2O_2 10%, HClO_4 dan HCl menghasilkan sampel yang putih bersih dengan pengurangan bobot 3,36 % - 4,44 %.

Sedimen merupakan bahan atau partikel yang terdapat di permukaan bumi (di daratan ataupun lautan), yang telah mengalami proses pengangkutan (transportasi) dari satu tempat (kawasan) ke tempat lainnya. Air dan angin merupakan agen pengangkut yang utama. Sedimen ini apabila mengeras (membatu) akan menjadi batuan sedimen. Ilmu yang mempelajari batuan sedimen disebut dengan sedimentologi.

Salah satu metode yang dapat menganalisis jenis dan sifat mineral tertentu dengan melihat pola difraksi mineral yang dihasilkan adalah melalui *X-Ray Diffraction* (XRD). Pada penelitian oleh Prasanti, Fahdiran, Saptari dan Handoko (2015) yang berjudul "Analisis Karakterisasi XRD Sintesis Material LaO, CaO, $(\text{Mn,Co})\text{O}_3$ Melalui Metode *Mechanical Alloying*". Bahan penyusun yang digunakan dalam penelitian tersebut terdiri dari La_2O_3 , CaO, MnCO_3 , dan Co_3O_4 dengan proses pencampuran dengan *high energy ball mill* selama 1 jam dan menghasilkan campuran yang homogen dilanjutkan dengan proses kalsinasi

750°C dan pencetakan pelet sampel serta sintering 1.100°C selama 3 jam menghasilkan struktur kristal monoklinik.

Penelitian selanjutnya oleh Tutu, Subaerdan Usman (2015) tentang “Studi Analisis Karakterisasi dan Mikrostruktur Mineral Sedimen Sumber Air Panas Sulili di Kabupaten Pinrang”. Hasil penelitian yang diperoleh adalah keadaan morfologi dari ke delapan sampel pada umumnya berbentuk lempengan maupun gumpalan yang cacat dan ukuran yang bervariasi. Sedangkan hasil uji XRD menunjukkan kandungan mineral pada sampel sedimen di dominasi oleh mineral *kaolinite* dan *Quartz*.

Batuan sedimen merupakan batuan yang terbentuk karena pengendapan materi (mineral) hasil erosi. Batuan ini biasa dimanfaatkan untuk bahan dasar bangunan (*gypsum*), pengeras jalan dan pondasi rumah (batu gamping), serta bahan bakar (batu bara). Seperti yang dijelaskan Allah SWT. dalam QS. Fathir/35 ayat 27 yang berbunyi:

أَلَمْ تَرَ أَنَّ اللَّهَ أَنْزَلَ مِنَ السَّمَاءِ مَاءً فَأَخْرَجْنَا بِهِ ثَمَرَاتٍ مُخْتَلِفًا أَلْوَانُهَا وَمِنَ الْجِبَالِ جُدَدٌ بَيضٌ وَحُمْرٌ مُخْتَلِفٌ أَلْوَانُهَا وَغَرَابِيبُ سُودٍ ۚ ۲۷

Terjemah-Nya:

“Tidakkah kamu melihat bahwasanya Allah menurunkan hujan dari langit lalu Kami hasilkan dengan hujan itu buah-buahan yang beraneka macam jenisnya. Dan diantara gunung-gunung itu ada garis-garis putih dan merah yang beraneka macam warnanya dan ada (pula) yang hitam pekat.” (Kementerian Agama RI.:2013).

Berdasarkan tafsir Al-Misbah mengenai ayat Al-Quran diatas (QS. Fathir/35 ayat 27) dimana ayat ini melanjutkan uraian tentang bukti-bukti kuasa

Allah SWT. Ia mengajak semua orang dengan menggunakan gaya pertanyaan untuk berfikir dan memerhatikan. Allah SWT. Berfirman: Wahai siapa pun yang mampu melihat dan berfikir! Tidakkah kamu telah melihat bahwa Allah lah yang menurunkan air hujan dari langit. Lalu dengan sebab air hujan itu, muncullah berbagai jenis buah-buahan, ada yang merah dan kuning, ada yang manis dan asam, dan ada yang baik dan buruk. Dan diantara gunung-gunung ada yang memiliki jalur-jalur dan garis-garis berwarna putih dan merah yang kejelasan dan keburamannya berbeda satu sama lain dan diantara gunung-gunung ada garis-garis putih dan merah yang beranekaragam warnanya.

Kemukjizatan ayat ini dari segi ilmu pengetahuan sebenarnya bukan saja tampak ketika ia menyebutkan bahwa warna gunung yang bermacam-macam itu disebabkan adanya perbedaan materi-materi yang dikandung oleh bebatuan gunung-gunung itu. Jika materinya besi, maka warna dominannya adalah merah, jika materinya batubara maka warna dominannya hitam, jika materinya perunggu maka gunung tersebut berwarna kehijau-hijauan dan seterusnya.

Tidak hanya sampai disitu, kemukjizatan ayat ini sebenarnya sangat menonjol ketika mengaitkan adanya berbagai jenis buah-buahan meskipun pepohonannya disiram dengan air yang sama, dengan penciptaan gunung-gunung yang beraneka warna merah, putih atau hitam meskipun juga berasal dari suatu materi yang sama di dalam perut bumi. Materi ini, oleh para geolog, dinamakan magma yang muncul di berbagai kawasan bumi. Akan tetapi, karena kemunculan magma itu dari kedalaman yang berbeda, pada akhirnya, mengkristal membentuk

gundukan-gundukan atau gunung-gunung yang beranekaragam warna dan materinya (M.Quraish Shihab, 2009).

Secara geologi, kabupaten Maros tersusun atas batuan beku/sedimen. Salah satu daerah yang memiliki potensi batuan tersebut terdapat di kelurahan Leang-Leang. Daerah tersebut cukup berpotensi untuk dikelola oleh masyarakat setempat untuk dimanfaatkan sebagai bahan dasar bangunan dan pondasi rumah. Oleh karena itu peneliti tertarik melakukan penelitian dengan menggunakan *X-Ray Diffraction* (XRD) untuk mengetahui kandungan mineral apa saja yang dimiliki pada batuan di kelurahan Leang-Leang kecamatan Bantimurung kabupaten Maros. Dengan diketahuinya kandungan mineral di kelurahan tersebut, maka dapat dikaji potensi teknis dan ekonomisnya untuk dimanfaatkan pada berbagai keperluan bahan dasar bangunan dan industri.

1.2 Rumusan Masalah

Berdasarkan latar belakang yang dikemukakan di atas, maka yang menjadi rumusan masalah dalam penelitian ini adalah sebagai berikut:

1. Bagaimana struktur kristal batuan di kelurahan Leang-Leang kecamatan Bantimurung kabupaten Maros dengan menggunakan *X-Ray Diffraction* (XRD)?
2. Bagaimana kandungan mineral batuan Sedimen di kelurahan Leang-Leang kecamatan Bantimurung kabupaten Maros dengan menggunakan *X-Ray Diffraction* (XRD)?

1.3 Tujuan Penelitian

Tujuan dilakukannya penelitian ini diharapkan dapat:

1. Mengetahui dan menganalisis struktur kristal batuan di kelurahan Leang-Leang kecamatan Bantimurung kabupaten Maros dengan menggunakan *X-Ray Diffraction (XRD)*.
2. Mengetahui dan menganalisis kandungan mineral batuan Sedimen di kelurahan Leang-Leang kabupaten Maros dengan menggunakan *X-Ray Diffraction (XRD)*.

1.4 Ruang Lingkup Penelitian

Ruang lingkup yang dikaji pada penelitian ini adalah sebagai berikut:

1. Penelitian ini dilakukan di kelurahan Leang-Leang kecamatan Bantimurung kabupaten Maros.
2. Penelitian ini dilakukan pada 5 titik pengambilan sampel yang berbeda.
3. Tiap sampel yang diambil sebanyak 100 g (untuk semua titik).
4. Alat yang digunakan untuk menganalisis struktur kristal dan kandungan mineral dari sampel adalah XRD (*X-Ray Diffraction*).

1.5 Manfaat Penelitian

Dengan melakukan penelitian di kelurahan Leang-Leang kecamatan Bantimurung kabupaten Maros maka manfaat yang akan diperoleh adalah sebagai berikut:

1. Bagi Masyarakat:

Dapat dijadikan bahan informasi bagi masyarakat kabupaten Maros kecamatan Bantimurung khususnya mengenai kandungan mineral batuan sedimen di kelurahan Leang-leang.

2. Bagi Pemerintah:

Dapat digunakan sebagai bahan informasi kepada pihak pengelola sumber daya alam dan mineral yang dapat dimanfaatkan untuk berbagai macam kepentingan.

3. Bagi Mahasiswa:

- a. Menambah keilmuan dengan jenis alat XRD (*X-Ray Diffraction*).
- b. Menambah pengetahuan tentang kandungan mineral batuan sedimen.

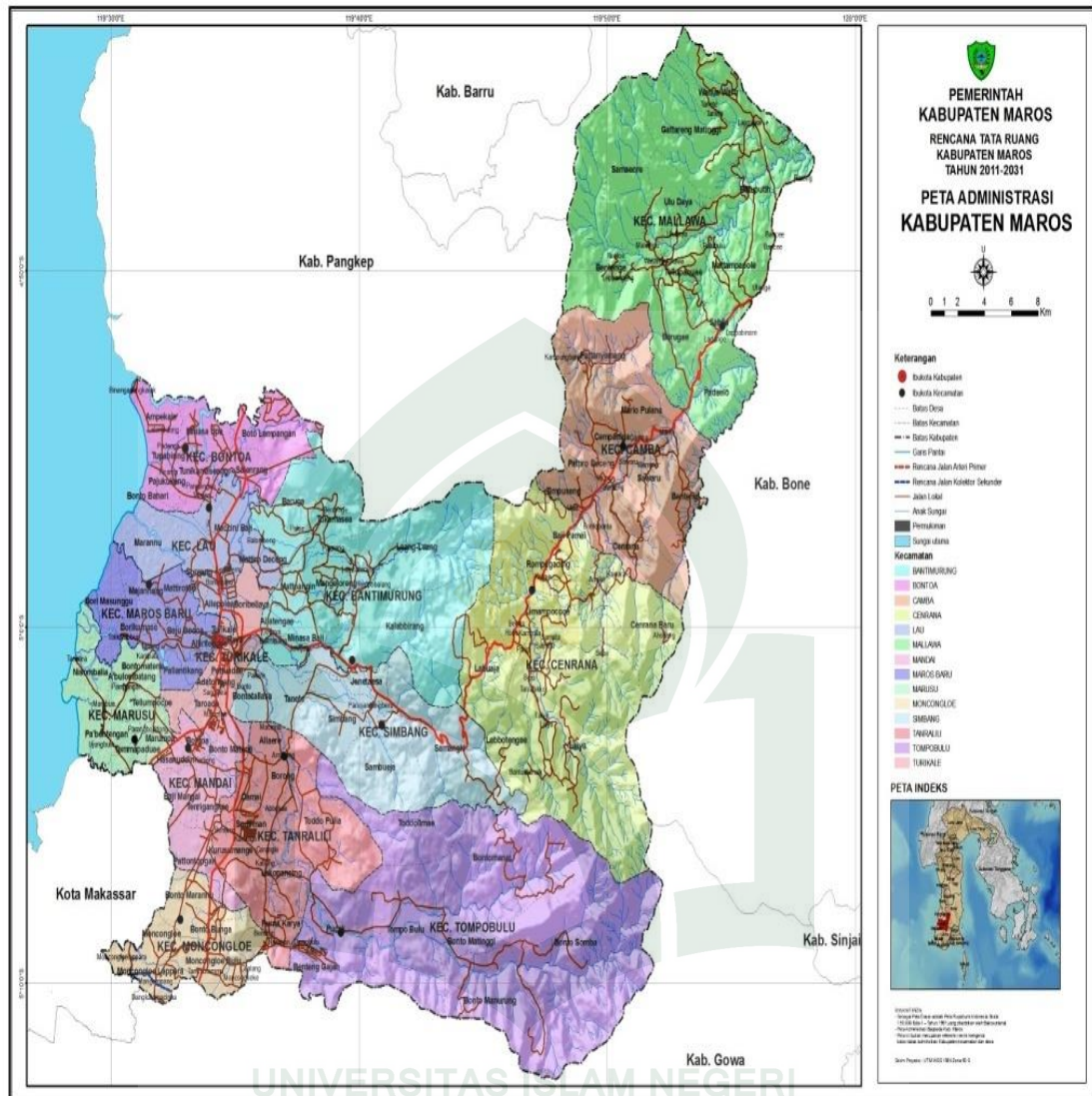
BAB II

TINJAUAN TEORITIS

2.1 Geologi Lokasi Penelitian

Kabupaten Maros terletak di bagian barat Sulawesi Selatan antara $5^{\circ}01'04.0''$ LS dan $119^{\circ}34'35.0''$ BT yang berbatasan dengan kabupaten Pangkep sebelah utara, kota Makassar dan kabupaten Gowa sebelah selatan, kabupaten Bone di sebelah barat. Luas wilayah kabupaten Maros $1619,11 \text{ km}^2$ yang terdiri dari 14 (empat belas) kecamatan yang membawahi 103 desa/kelurahan. Kabupaten Maros merupakan wilayah yang berbatasan langsung dengan ibukota provinsi Sulawesi Selatan, dalam hal ini adalah kota Makassar dengan jarak kedua kota tersebut berkisar 30 km dan sekaligus terintegrasi dalam pengembangan kawasan metropolitan Mamminasata. Dalam kedudukannya, kabupaten Maros memegang peranan penting terhadap pembangunan kota Makassar karena sebagai daerah perlintasan yang sekaligus sebagai pintu gerbang kawasan Mamminasata bagian utara yang dengan sendirinya memberikan peluang yang sangat besar terhadap pembangunan di kabupaten Maros dengan luas wilayah $1.619,12 \text{ km}^2$ dan terbagi dalam 14 wilayah kecamatan. Kabupaten Maros secara administrasi wilayah berbatasan dengan:

- a. Sebelah utara berbatasan dengan kabupaten Pangkep
- b. Sebelah timur berbatasan dengan kabupaten Gowa dan Bone
- c. Sebelah selatan berbatasan dengan kabupaten Gowa dan kota Makassar
- d. Sebelah barat berbatasan dengan selat Makassar.



Gambar 2.1. Peta administrasi Kabupaten Maros

Demikian pula sarana transportasi udara terbesar di kawasan timur Indonesia berada di kabupaten Maros sehingga kabupaten ini menjadi tempat masuk dan keluar dari dan ke Sulawesi Selatan. Tentu saja kondisi ini sangat menguntungkan perekonomian Maros secara keseluruhan (PEMDA Kab Maros, 2015).

2.2 Batuan Sedimen

2.2.1 Pengertian Sedimen

Ilmu yang mempelajari batuan sedimen disebut dengan sedimentologi. Sebelum mengetahui bagaimana sedimen terangkut dan terendapkan dalam suatu cekungan mungkin ada baiknya kita dapat memahami prinsip apa saja yang bisa kita temukan dalam batuan sedimen. Prinsip-prinsip tersebut sangatlah beragam diantaranya prinsip *uniformitarianism*. Prinsip penting dari *uniformitarianism* adalah proses-proses geologi yang terjadi sekarang juga terjadi di masa lampau. Prinsip ini diajukan oleh Charles Lyell di tahun 1830.

Dengan menggunakan prinsip tersebut dalam mempelajari proses-proses geologi yang terjadi sekarang, bisa diperkirakan beberapa hal seperti kecepatan sedimentasi, kecepatan kompaksi dari sedimen, dan juga bisa memperkirakan bagaimana bentuk geologi yang terjadi dengan proses-proses geologi tertentu. Lapisan horizontal yang ada di batuan sedimen disebut *bedding*. *Bedding* terbentuk akibat pengendapan dari partikel-partikel yang terangkut oleh air atau angin. Kata sedimen sebenarnya berasal dari bahas latin "*sedimentum*". yang artinya endapan. Batas-batas lapisan yang ada di batuan sedimen adalah bidang lemah yang ada pada batuan dimana batu bisa pecah dan fluida bisa mengalir.

Setiap lapisan batuan dapat memperkokoh (memperkuat) struktur bumi dan menjadikan gunung-gunung sebagai kekuatan kerak bumi. Allah swt. menjadikan bumi ini sebagai tempat sumber air bawah permukaan tanah, sungai yang berliku, gunung tinggi yang kokoh, lautan yang luas, lembah dan daratan

yang mengisi makhluk lainnya. Seperti yang dijelaskan dalam Q.S An-Naml/27:

61. Allah swt. Berfirman:

أَمَّنْ جَعَلَ الْأَرْضَ قَرَارًا وَجَعَلَ خِلَالَهَا أَنْهَارًا وَجَعَلَ لَهَا
رَوَاسِيَ وَجَعَلَ بَيْنَ الْبَحْرَيْنِ حَاجِزًا ۗ أَلَيْسَ مَعَ اللَّهِ بِلْ أَكْثَرُهُمْ لَا
يَعْلَمُونَ ﴿٦١﴾

Terjemah-Nya:

“Atau siapakah yang Telah menjadikan bumi sebagai tempat berdiam, dan yang menjadikan sungai-sungai di celah-celahnya, dan yang menjadikan gunung-gunung untuk (mengkokohkan)nya dan menjadikan suatu pemisah antara dua laut? Apakah disamping Allah ada Tuhan (yang lain)? Bahkan (sebenarnya) kebanyakan dari mereka” (Kementerian Agama RI.: 2012).

Menurut Kitab Ibnu Katsir, Allah swt.berfirman bahwa “*ammanja’ a laa al ar dha qarhaaraan*” yang artinya “*atau siapakah yang telah menjadikan bumi sebagai qararan*”, yaitu sebagai tempat tinggal yang tetap. Dia tidak menggoyangkan dan menggerakkan penghuninya serta tidak mengguncangkan mereka.Seandainya itu terjadi, niscaya kehidupan tidak akan berlangsung baik. Akan tetapi, Allah swt.menjadikan bumi dengan keutamaan dan rahmat-Nya sebagai hamparan yang tetap, yang tidak berguncang dan tidak bergeser.

Allah swt.juga menjelaskan bahwa *wa ja a laa khilaa lahaa anhaaraan* yang artinya “*dan menjadikan sungai-sungai di celah-celahnya*”, yaitu Dia menjadikan sungai-sungai tawar dan baik untuk digunakan mengalirkan sungai itu di celah-celahnya. Lalu Dia alirkan ke sungai-sungai besar dan kecil serta mengalirkannya ke bagian timur, barat, utara dan selatan sesuai kemaslahatan hamba-hamba-Nya di wilayah dan daerah mereka. Dimana Dia

mengembangbiakkan mereka di permukaan bumi dan menumbuhkan rizki sesuai kebutuhan mereka.

Selain ayat di atas, Allah swt.juga berfirman dalam QS Al-Baqarah/2: 74 yaitu:

ثُمَّ قَسَتْ قُلُوبُكُمْ مِنْ بَعْدِ ذَلِكَ فَهِيَ كَالْحِجَارَةِ أَوْ أَشَدُّ قَسْوَةً وَإِنْ مِنْ الْحِجَارَةِ لَمَا يَتَفَجَّرُ مِنْهُ الْأَنْهَارُ وَإِنْ مِنْهَا لَمَا يَشَقَّقُ فَيَخْرُجُ مِنْهُ الْمَاءُ وَإِنْ مِنْهَا لَمَا يَهْبِطُ مِنْ خَشْيَةِ اللَّهِ وَمَا اللَّهُ بِغَفِيلٍ عَمَّا تَعْمَلُونَ



Terjemah-Nya:

“Kemudian setelah itu hatimu menjadi keras seperti batu, bahkan lebih keras lagi. padahal diantara batu-batu itu sungguh ada yang mengalir sungai-sungai dari padanya dan diantaranya sungguh ada yang terbelah lalu keluarlah mata air dari padanya dan diantaranya sungguh ada yang meluncur jatuh, Karena takut kepada Allah. dan Allah sekali-sekali tidak lengah dari apa yang kamu kerjakan” (Kementrian Agama RI.: 2012).

Menurut kitab Tafsir Al-Misbah, Allah swt.menjelaskan bahwa “*laama yatafajjaruu minhu an haa ruu wa inna minhaa laama yassyak kha kuu faa yahruu ju minhu*” yang artinya “*ada batu yang mengalir sungai-sungai darinya dan diantaranya sungguh ada yang terbelah lalu keluarlah mata air darinya*”.

Berbeda dengan batu yang walau keras dan padat, ada diantaranya yang memiliki celah sehingga air dapat keluar dari celahnya.Bahkan ada yang sedemikian besar celahnya sehingga air yang mengalir di sekelilingnya memancar keluar dengan deras.

Selama susunan lapisan belum berubah ataupun terbalik maka lapisan termuda berada di atas dan lapisan tertua berada di bawah. Prinsip tersebut

dikenal sebagai prinsip superposisi (*superposition*). Susunan lapisan tersebut adalah dasar dari skala waktu stratigrafi atau skala waktu pengendapan. Pengamatan pertama atas fenomena ini dilakukan oleh Nicolaus Steno di tahun 1669. Ilmuan tersebut mengajukan beberapa prinsip berkaitan dengan fenomena tersebut yaitu prinsip *horizontality*, *superposition*, dan *original continuity*. Prinsip *horizontality* menjelaskan bahwa semula batuan sedimen diendapkan dalam posisi horizontal.



Gambar 2.2 Struktur Perlapisan

(Sumber: Noor, 2009)

Faktor-faktor yang mengontrol terbentuknya sedimen adalah iklim, topografi, vegetasi dan juga susunan yang ada dari batuan. Sedangkan faktor yang mengontrol pengangkutan sedimen adalah air, angin, dan juga gaya gravitasi. Sedimen dapat terangkut baik oleh air, angin, dan bahkan salju/gletser. Mekanisme pengangkutan sedimen oleh air dan angin sangatlah berbeda. Pertama, karena berat jenis angin relatif lebih kecil dari air maka angin sangat susah

mengangkut sedimen yang ukurannya sangat besar. Besar maksimum dari ukuran sedimen yang mampu terangkut oleh angin umumnya sebesar ukuran pasir. Kedua, karena sistem yang ada pada angin bukanlah sistem yang terbatas (*confined*) seperti layaknya sungai maka sedimen cenderung tersebar di daerah yang sangat luas bahkan sampai menuju atmosfer. Sedimen-sedimen yang ada terangkut sampai di suatu tempat yang disebut cekungan. Di tempat tersebut sedimen sangat besar kemungkinan terendapkan karena daerah tersebut relatif lebih rendah dari daerah sekitarnya dan karena bentuknya yang cekung ditambah akibat gaya gravitasi dari sedimen tersebut maka susah sekali sedimen tersebut akan bergerak melewati cekungan tersebut. Dengan semakin banyaknya sedimen yang diendapkan, maka cekungan akan mengalami penurunan dan membuat cekungan tersebut semakin dalam sehingga semakin banyak sedimen yang terendapkan. Penurunan cekungan sendiri banyak disebabkan oleh penambahan berat dari sedimen yang ada dan kadang dipengaruhi juga struktur yang terjadi di sekitar cekungan seperti adanya patahan. Sedimen dapat diangkut dengan tiga cara, yaitu:

- a. *Suspension*, ini umumnya terjadi pada sedimen-sedimen yang sangat kecil ukurannya (seperti lempung) sehingga mampu diangkut oleh aliran air atau angin yang ada.
- b. *Bed load*, ini terjadi pada sedimen yang relatif lebih besar (seperti pasir, kerikil, kerakal, bongkah) sehingga gaya yang ada pada aliran yang bergerak dapat berfungsi memindahkan partikel-partikel yang besar di dasar. Pergerakan dari butiran pasir dimulai pada saat kekuatan gaya aliran melebihi

kekuatan inerti butiran pasir tersebut pada saat diam. Gerakan-gerakan sedimen tersebut bisa menggelundung, menggeser, atau bahkan bisa mendorong sedimen yang satu dengan lainnya.

- c. *Saltation*, yang dalam bahasa latin artinya meloncat umumnya terjadi pada sedimen berukuran pasir dimana aliran fluida yang ada mampu menghisap dan mengangkut sedimen pasir sampai akhirnya karena gaya grafitasi yang ada mampu mengembalikan sedimen pasir tersebut ke dasar. Pada saat kekuatan untuk mengangkut sedimen tidak cukup besar dalam membawa sedimen-sedimen yang ada maka sedimen tersebut akan jatuh atau mungkin tertahan akibat gaya gravitasi yang ada. Setelah itu proses sedimentasi dapat berlangsung sehingga mampu mengubah sedimen-sedimen tersebut menjadi suatu batuan sedimen. Material yang menyusun batuan sedimen adalah lumpur, pasir, kelikir, kerakal, dan sebagainya. Sedimen ini akan menjadi batuan sedimen apabila mengalami proses pengerasan. Sedimen akan menjadi batuan sedimen melalui proses pengerasan atau pembatuan (*lithifikasi*) yang melibatkan proses pemadatan (*compaction*), sementasi (*cementation*) dan *diagenesa* dan *lithifikasi*.

Secara umumnya, sedimen atau batuan sedimen terbentuk dengan dua cara, yaitu:

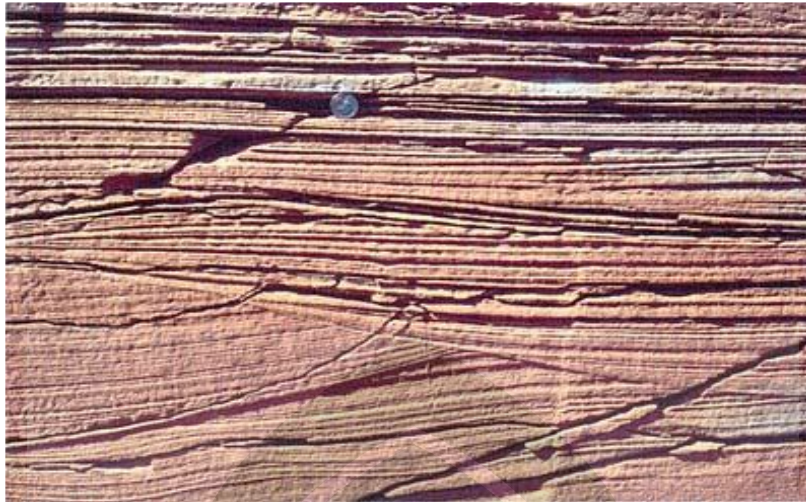
- 1) Batuan sedimen yang terbentuk dalam cekungan pengendapan atau dengan kata lain tidak mengalami proses pengangkutan. Sedimen ini dikenal sebagai sedimen *autochthonous*. Yang termasuk dalam kelompok batuan *autochthonous* antara lain adalah batuan evaporit (*halit*) dan batugamping.

- 2) Batuan sedimen yang mengalami proses transportasi, atau dengan kata lain, sedimen yang berasal dari luar cekungan yang ditransport dan diendapkan di dalam cekungan. Sedimen ini dikenal dengan sedimen *allochthonous*. Yang termasuk dalam kelompok sedimen ini adalah batu pasir, konglomerat, breksi, batuan epiklastik. Selain kedua jenis batuan tersebut diatas, batuan sedimen dapat dikelompokkan pada beberapa jenis, berdasarkan cara dan proses pembentukannya, yaitu:
- a) *Terrigenous* (detrital atau klastik). Batuan sedimen klastik merupakan batuan yang berasal dari suatu tempat yang kemudian tertransportasi dan diendapkan pada suatu cekungan. Contohnya konglomerat atau breksi, batu pasir, batulanau dan lempung.
 - b) Sedimen kimiawi/biokimia (*chemical/biochemical*). Batuan sedimen kimiawi/biokimia adalah batuan hasil pengendapan dari proses kimiawi suatu larutan, atau organisme bercangkang atau yang mengandung mineral silika atau fosfat. Batuan yang termasuk dalam kumpulan ini adalah evaporit, batuan sedimen karbonat (batugamping dan dolomit), batuan sedimen bersilika (rijang), endapan organik (batubara).
 - c) Batuan volkanoklastik (*volcanoclastic rocks*), berasal dari aktivitas gunungapi. Debu dari aktivitas gunungapi ini akan terendapkan seperti sedimen yang lain. Adapun kelompok batuan volkanoklastik adalah batupasir tufa dan anglomerat. Secara garis besar, genesis batuan sedimen dapat dibagi menjadi dua, yaitu: batuan sedimen klastik dan batuan sedimen non-klastik. Batuan sedimen klastik adalah batuan yang terbentuk dari hasil rombakan batuan yang sudah

ada (batuan beku, metamorf, atau sedimen) yang kemudian diangkut oleh media (air, angin, gletser) dan diendapkan disuatu cekungan. Proses pengendapan sedimen terjadi terus menerus sesuai dengan berjalannya waktu sehingga endapan sedimen semakin lama semakin bertambah tebal. Beban sedimen yang semakin tebal mengakibatkan endapan sedimen mengalami kompaksi. Sedimen yang terkompaksi kemudian mengalami proses diagenesa, sementasi dan akhirnya mengalami pembatuan (*lithifikasi*) menjadi batuan sedimen. Adapun kelompok sedimen non-klastik adalah kelompok batuan sedimen yang genesanya (pembentukannya) dapat berasal dari proses kimiawi, atau sedimen yang berasal dari sisa-sisa organisme yang telah mati.

2.2.2 Ciri-Ciri Batuan Sedimen

Pada umumnya batuan sedimen dapat dikenali dengan mudah dilapangan dengan adanya perlapisan. Perlapisan pada batuan sedimen disebabkan oleh (1) perbedaan besar butir, seperti misalnya antara batupasir dan batulempung; dan (2) perbedaan warna batuan, antara batupasir yang berwarna abu-abu terang dengan batulempung yang berwarna abu-abu kehitaman. Disamping itu, struktur sedimen juga menjadi penciri dari batuan sedimen, seperti struktur silang siur atau struktur gelembur gelombang. Ciri lainnya adalah sifat klastik, yaitu yang tersusun dari fragmen-fragmen lepas hasil pelapukan batuan yang kemudian tersemenkan menjadi batuan sedimen klastik. Kandungan fosil juga menjadi penciri dari batuan sedimen, mengingat fosil terbentuk sebagai akibat dari organisme yang terperangkap ketika batuan tersebut diendapkan.



Gambar 2.3 Struktur Sedimen
(Sumber: Noor, 2009)

2.2.3 Tekstur Pada Batuan Sedimen Klastik

Pada hakekatnya tekstur adalah hubungan antar butir/mineral yang terdapat di dalam batuan. Sebagaimana diketahui bahwa tekstur yang terdapat dalam batuan sedimen terdiri dari fragmen batuan/mineral dan matrik (masa dasar). Adapun yang termasuk dalam tekstur pada batuan sedimen klastik terdiri dari: besar butir, bentuk butir, kemas (*fabric*), pemilahan (*sorting*), sementasi, porositas (kesarangan) dan permeabilitas (kelulusan).

- a. Besar butir adalah ukuran butir dari material penyusun batuan sedimen diukur berdasarkan klasifikasi *wentword*.
- b. Bentuk butir pada sedimen klastik dibagi menjadi: *rounded* (membundar), *sub-rounded* (membundar tanggung), *sub-angular* (menyudut tanggung) dan *angular* (menyudut).
- c. Kemas (*fabric*) adalah hubungan antara masa dasar dengan fragmen batuan/mineralnya. Kemas pada batuan sedimen ada dua, yaitu: kemas

terbuka, yaitu hubungan antara masa dasar dan fragmen butiran yang kontras sehingga terlihat fragmen butiran mengambang diatas masa dasar batuan. Kemas tertutup, yaitu hubungan antar fragmen butiran yang relatif seragam, sehingga menyebabkan masa dasar tidak terlihat).

- d. Pemilahan (*sorting*) adalah keseragaman ukuran butir dari fragmen penyusun batuan.
- e. Sementasi (*cement*) adalah bahan pengikat antar butir dari fragmen penyusun batuan. Macam dari bahan semen pada batuan sedimen klastik adalah karbonat, silika dan oksida besi.
- f. Porositas (kesarangan) adalah ruang yang terdapat diantara fragmen butiran yang ada pada batuan. Jenis porositas pada batuan sedimen adalah porositas baik, porositas sedang, porositas buruk.
- g. Permeabilitas (kelulusan) adalah sifat yang dimiliki oleh batuan untuk dapat meloloskan air. Jenis permeabilitas pada batuan sedimen adalah permeabilitas baik, permeabilitas sedang, permeabilitas buruk.

2.3 Mineral

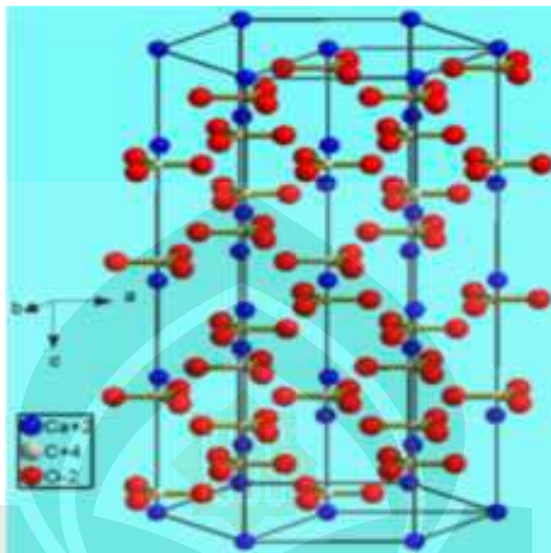
Mineral dapat didefinisikan sebagai bahan padat anorganik yang terdapat secara alamiah, yang terdiri dari unsur-unsur kimiawi dalam perbandingan tertentu. Pada mineral, atom-atom didalamnya tersusun mengikuti suatu pola yang sistematis. Mineral dapat dijumpai dimana-mana, dapat berwujud sebagai batuan, tanah atau pasir yang diendapkan pada dasar sungai. Beberapa daripada mineral tersebut dapat mempunyai nilai ekonomis karena didapatkan dalam jumlah yang besar, sehingga memungkinkan untuk ditambang seperti emas dan perak. Mineral,

kecuali beberapa jenis, memiliki sifat, bentuk tertentu dalam keadaan padatnya, sebagai perwujudan dari susunan yang teratur didalamnya. Apabila kondisinya memungkinkan, mereka akan dibatasi oleh bidang-bidang rata, dan diasumsikan sebagai bentuk-bentuk yang teratur yang dikenal sebagai kristalin. Dengan demikian, kristal secara umum dapat didefinisikan sebagai bahan padat yang homogen yang memiliki pola internal susunan tiga dimensi yang teratur. Studi yang khusus mempelajari sifat-sifat, bentuk susunan dan cara-cara terjadinya bahan padat tersebut dinamakan kristalografi (Noor, 2009).

Kisi ruang kristal (*space lattice*) didefinisikan sebagai susunan titik dalam ruang tiga dimensi yang memiliki lingkungan identik antara satu dengan lainnya. Titik dengan lingkungan yang serupa itu disebut simpul kisi (*lattice points*). Kesatuan yang berulang di dalam kisi ruang disebut sel unit (*unit cell*) struktur kristal. Terdapat enam buah variabel pada sebuah sel unit, yaitu panjang dari unit sel yang direpresentasikan oleh tiga vektor (a , b , dan c) dan tiga buah sudut yang terletak diantara dua vektor (α , β , and γ), dimana: α adalah sudut antara b dan c ; β adalah sudut antara c dan a ; γ adalah sudut antara a dan b . Untuk semua jenis kristal, terdapat tujuh buah kemungkinan susunan sel unit. Ketujuh sel unit tersebut dinamakan sel unit *bravais*.

Struktur kristal Batu Gamping misalnya, yang kandungan utamanya kalsium karbonat (CaCO_3) yang pada dasarnya berwarna putih dan umumnya sering dijumpai pada batu kapur, kalsit, marmer, dan batu gamping. Selain itu kalsium karbonat juga banyak dijumpai pada stalaktit dan stalagmit yang terdapat

di sekitar pegunungan. Adapun struktur kristal kalsium karbonat (CaCO_3) dapat dilihat pada gambar 2.3 berikut.



Gambar 2.4 Struktur kristal kalsium karbonat (CaCO_3)
(Sumber:Mailinda,dkk.2015)

Kalsium karbonat (CaCO_3) apabila ditambahkan air reaksinya akan berjalan dengan sangat kuat dan cepat apabila dalam bentuk serbuk, dimana serbuk kalsium akan melepaskan kalor. Molekul dari kalsium karbonat (CaCO_3) akan segera mengikat air (H_2O) yang akan membentuk kalsium hidroksida, zat yang lunak seperti pasta (Mailinda,dkk. 2015).

Pengetahuan tentang minerali merupakan syarat mutlak untuk dapat mempelajari bagian yang padat dari Bumi ini, yang terdiri dari batuan. Bagian luar yang padat dari bumi ini disebut *litosfir*, yang berarti selaput yang terdiri dari batuan, dengan mengambil *lithosi* dari bahasa latin yang berarti batu, dan *ispherei* yang berarti selaput. Tidak kurang dari 2.000 jenis mineral yang diketahui sekarang. Beberapa merupakan benda padat dengan ikatan unsur yang sederhana. Contohnya adalah mineral intan yang hanya terdiri dari satu jenis unsur saja yaitu

Karbon. Garam dapur yang disebut mineral halit, terdiri dari senyawa dua unsur yaitu Natrium dan Chlorit dengan simbol NaCl. Setiap mineral mempunyai susunan unsur-unsur yang tetap dengan perbandingan tertentu. Studi yang mempelajari segala sesuatunya tentang mineral disebut mineralogi, didalamnya juga mencakup pengetahuan tentang kristal, yang merupakan unsur utama dalam susunan mineral (Noor, 2009).

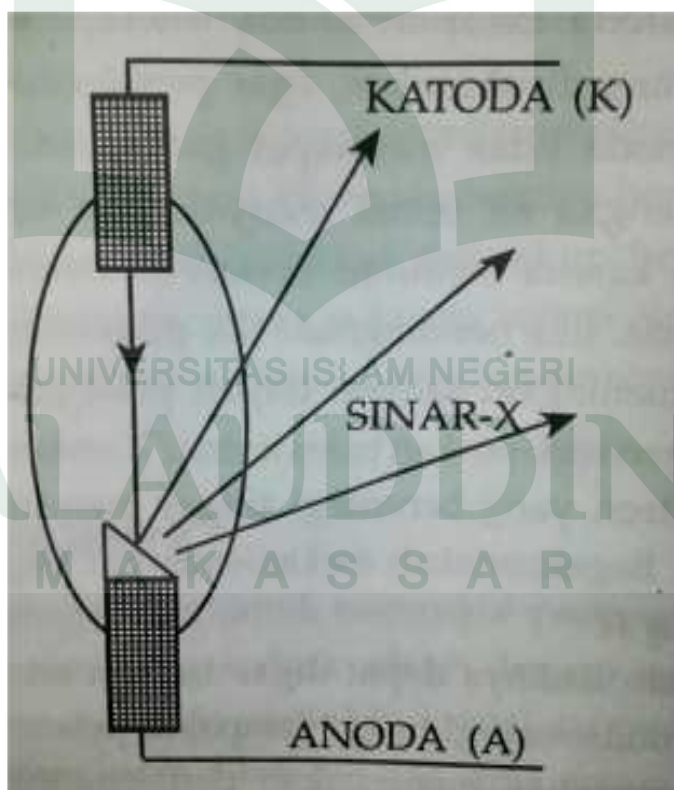
2.4 X-Ray Diffraction (XRD)

Proses analisis menggunakan *X-Ray Diffraction* (XRD) merupakan salah satu metode karakterisasi material yang paling tua dan paling sering digunakan hingga sekarang. Teknik ini digunakan untuk mengidentifikasi fasa kristalin dalam material dengan cara menentukan parameter struktur kisi serta untuk mendapatkan ukuran partikel. Sinar-X merupakan radiasi elektromagnetik yang memiliki energi tinggi sekitar 200 eV sampai 1 MeV. Sinar-X dihasilkan oleh interaksi antara berkas elektron eksternal dengan elektron pada kulit atom. Spektrum sinar-X memiliki panjang gelombang 10^{-10} sampai 5^{-10} nm, berfrekuensi 1.017-1.020 Hz dan memiliki energi 10^3 - 10^6 eV.

Panjang gelombang sinar-X memiliki orde yang sama dengan jarak antar atom sehingga dapat digunakan sebagai sumber difraksi kristal. Sinar-X dihasilkan dari tumbukan elektron berkecepatan tinggi dengan logam sasaran. Oleh karena itu, suatu tabung sinar-X harus mempunyai suatu sumber elektron, voltase tinggihan logam sasaran. Selanjutnya elektron-elektron yang ditumbukkan ini mengalami pengurangan kecepatan dengan cepat dan energinya diubah menjadi foton (Grant & Suryanayana, 1998).

Sinar-X merupakan salah satu komponen gem berpanjang gelombang pendek. Sinar-X dihasilkan oleh transisi elektron ke arah dasar (*ground state*) pada atom berat, misalnya pada atom *Zn* dan niobium. Terjadinya transisi itu disebabkan oleh lowongnya elektron di kulit *K* karena ditembak oleh foton atau partikel dari luar (Bambang, 2010:276).

Sinar-X terjadi apabila satu berkas elektron bebas berenergi kinetik tinggi mengenai logam. Biasanya permukaan logam dengan nomor atom *Z* yang tinggi. Tempat dimana berkas elektron itu menumbuk logam akan merupakan sumber sinar dengan daya tembus yang besar. Secara skematis pembangkitan sinar-X dapat dilihat pada gambar 2.4 berikut:



Gambar 2.5 Skema pembangkitan sinar-X

K adalah katoda yang dihubungkan dengan kutub negatif sumber tegangan tinggi. Katoda dipanaskan dengan menggunakan *filament* agar lebih mudah memancarkan elektron. A merupakan anoda yang terbuat dari logam berat. Anoda dihubungkan dengan kutub positif sumber tegangan tinggi. Beda potensial yang tinggi (beberapa kilo volt sampai dengan seratus kilo volt) menyebabkan sesampainya di anoda, elektron dipancarkan oleh katoda memiliki energi kinetik yang sangat besar. Elektron-elektron inilah yang dalam tumbukannya dengan anoda menimbulkan pancaran sinar-X oleh anoda (Yusman Wiyatmo, 2010:58-59).

Sinar-X ditemukan pertama kali oleh Wilhelm Conrad Rontgen pada tahun 1895, di Universitas Wurtzburg, Jerman. Karena asalnya tidak diketahui waktu itu maka disebut sinar-X. Untuk penemuan ini Rontgen mendapat hadiah nobel pada tahun 1901, yang merupakan hadiah nobel pertama dibidang fisika. Sejak ditemukannya, sinar-X telah umum digunakan untuk tujuan pemeriksaan tidak merusak pada material maupun manusia. Disamping itu, sinar-X dapat juga digunakan untuk menghasilkan pola difraksi tertentu yang dapat digunakan dalam analisis kualitatif dan kuantitatif material. Pengujian dengan menggunakan sinar-X disebut dengan pengujian *X-Ray Diffraction* (XRD).

Komponen utama XRD yaitu terdiri dari tabung katoda (tempat terbentuknya sinar-X), sampel holder dan detektor. Pada XRD yang berada di laboratorium pusat MIPA dengan komponen lain berupa *cooler* yang digunakan untuk mendinginkan, karena ketika proses pembentukan sinar-X dikeluarkan energi yang tinggi dan menghasilkan panas. Kemudian seperangkat komputer dan

CPU. XRD memberikan data-data difraksi dan kuantisasi intensitas difraksi pada sudut-sudut dari suatu bahan. Data yang diperoleh dari XRD berupa intensitas difraksi sinar-X yang terdifraksi dan sudut-sudut 2θ . Tiap polayang muncul pada pola XRD mewakili satu bidang kristal yang memiliki orientasi tertentu (Widyawati, 2012).

Suatu kristal yang dikenai oleh sinar-X tersebut berupa material (sampel), sehingga intensitas sinar yang ditransmisikan akan lebih rendah dari intensitas sinar datang. Berkas sinar-X yang dihamburkan ada yang saling menghilangkan (*interferensi destruktif*) dan ada juga yang saling menguatkan (*interferensi konstruktif*). Interferensi konstruktif ini merupakan peristiwa difraksi (Grant & Suryanayana, 1998).

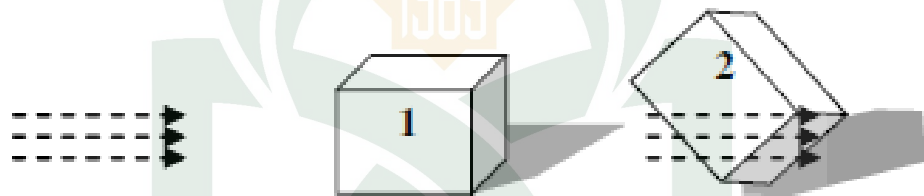


Gambar 2.6 XRD (*X-Ray Diffraction*)
(Sumber: Dokumen pribadi)

XRD digunakan untuk analisis komposisi fasa atau senyawa pada material dan juga karakterisasi kristal. Prinsip dasar XRD adalah mendifraksi cahaya yang melalui celah kristal. Difraksi cahaya oleh kisi-kisi atau kristal ini dapat terjadi apabila difraksi tersebut berasal dari radius yang memiliki panjang gelombang yang setara dengan jarak antar atom, yaitu sekitar 1°A . Radiasi yang digunakan berupa radiasi sinar-X, elektron dan neutron. Sinar-X merupakan foton dengan energi tinggi yang memiliki panjang gelombang berkisar antara 0,5 sampai $2,5^{\circ}\text{A}$. Ketika berkas sinar-X berinteraksi dengan suatu material, maka sebagian berkas akan diabsorpsi, ditransmisikan, dan sebagian lagi dihamburkan terdifraksi. Hamburan terdifraksi inilah yang dideteksi oleh XRD. Berkas sinar-X yang dihamburkan tersebut ada yang saling menghilangkan karena fasanya berbeda dan ada juga yang saling menguatkan karena fasanya sama. Berkas sinar-X yang saling menguatkan itulah yang disebut sebagai berkas difraksi (Grant & Suryanayana, 1998).

Secara sederhana, prinsip kerja dari XRD dapat dijelaskan bahwa setiap senyawa terdiri dari susunan atom-atom yang membentuk bidang tertentu. Jika sebuah bidang memiliki bentuk yang tertentu, maka partikel cahaya (*foton*) yang datang dengan sudut tertentu hanya akan menghasilkan pola pantulan maupun pembiasan yang khas. Dengan kata lain, tidak mungkin foton yang datang dengan sudut tertentu pada sebuah bidang dengan bentuk tertentu akan menghasilkan pola pantulan ataupun pembiasan yang bermacam-macam. Sebagai gambaran, bayangan sebuah objek akan membentuk pola yang sama seandainya cahaya berasal dari sudut datang yang sama. Kekhasan pola difraksi yang tercipta inilah

yang dijadikan landasan dalam analisa kualitatif untuk membedakan suatu senyawa dengan senyawa yang lain menggunakan instrumen XRD. Pola unik yang terbentuk untuk setiap difraksi cahaya pada suatu material seperti halnya sidik jari (*fingerprint*) yang dapat digunakan untuk mengidentifikasi senyawa yang berbeda. Gambar berikut ini memperlihatkan pengaruh orientasi bidang pantul dan arah datang cahaya terhadap pembentukan pola bayangan (Agus, 2012: 39).



Gambar 2.7. Pengaruh orientasi bidang pantul dan arah datang cahaya terhadap pembentukan pola bayangan

Pada gambar di atas, ilustrasi balok 1 dan 2 memperlihatkan bahwa walaupun datangnya cahaya berasal dari arah yang sama pada kedua gambar tersebut, namun jika objek yang terkena cahaya memiliki orientasi berbeda maka akan menghasilkan bayangan yang berbeda karena bidang yang terkena cahaya memiliki orientasi yang berbeda (Agus, 2012: 40).

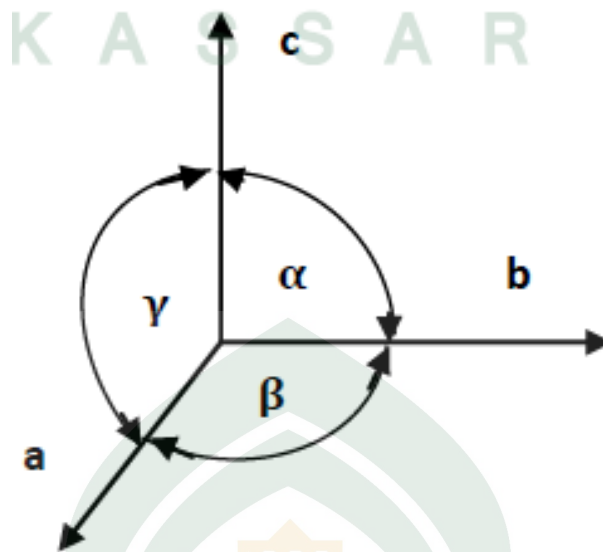


Gambar 2.8. Pengaruh orientasi yang sama terhadap pembentukan pola bayangan

Sementara gambar balok 3 dan 4 memperlihatkan bahwa walaupun objek yang sama berada pada orientasi yang sama, namun jika cahaya berasal dari arah yang berbeda, maka akan membentuk bayangan yang berbeda pula. Pada XRD, pola difraksi dinyatakan dengan besar sudut-sudut yang terbentuk sebagai hasil dari difraksi berkas cahaya oleh kristal pada material. Nilai sudut tersebut dinyatakan dalam 2θ , dimana θ merepresentasikan sudut datang cahaya. Sedangkan nilai 2θ merupakan besar sudut datang dengan sudut difraksi yang terdeteksi oleh detektor (Agus, 2012: 40).

2.5 Struktur Kristal

Kristal adalah suatu padatan yang atom, molekul, atau ion penyusunnya terkemas secara teratur dan polanya berulang melebar secara tiga dimensi. Susunan khas atom-atom dalam kristal disebut struktur kristal. Struktur kristal dibangun oleh sel satuan (*unit cell*). Sel satuan adalah bagian terkecil dari unit struktur yang dapat menjelaskan struktur suatu kristal. Tiga sisi suatu sel satuan disebut sudut-sudut permukaan batas (antar permukaan) seperti yang diperlihatkan pada gambar 2.6, pengulangan dari sel satuan akan mewakili struktur secara keseluruhan. (Fery, 2012: 13-14).



Gambar 2.9 Sumbu-sumbu dan sudut-sudut antar sumbu kristal
(Sumber: Suwitra, 1989)

Sumbu-sumbu a , b dan c adalah sumbu-sumbu yang dikaitkan dengan parameter kisi kristal. Sedangkan a , dan γ merupakan sudut antar sumbu-sumbu referensi kristal. Berdasarkan sumbu-sumbu a , b dan c (kisi bidang) dan sudut a , dan γ (kisi ruang), kristal dikelompokkan menjadi 7 sistem kristal (hubungan sudut satu dengan sudut yang lain) seperti pada tabel 2.1:

Tabel 2.1: Tujuh sistem kristal

Sistem kristal	Parameter kisi	Simbol
Kubik	$a = b = c$	P
		I
	$\alpha = \beta = \gamma = 90^\circ$	F
Monoklinik	$a = b \neq c$ $\alpha = \beta = 90^\circ \neq \gamma$	P

		C
Triklinik	$a \neq b \neq c$ $\alpha = \beta = \gamma \neq 90^\circ$	P
Tetragonal	$a = b \neq c$ $\alpha = \beta = \gamma = 90^\circ$	P I
Orthorombik	$a \neq b \neq c$ $\alpha = \beta = \gamma = 90^\circ$	P C I F
Trigonal/ Rhombohedral	$a = b \neq c$ $\alpha = \beta = \gamma \neq 90^\circ > 120^\circ$	P
Heksagonal	$a = b \neq c$ $\alpha = \beta = 90^\circ, \gamma = 120^\circ$	P

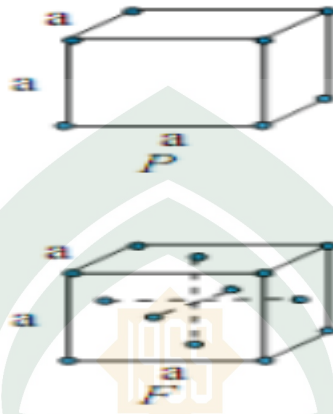
(Sumber: Kittel, 1976)

Penjelasan dari tujuh sistem kristal di atas adalah berikut:

a. Sistem Kubik

Sistem ini merupakan suatu sistem kristal kubus atau kubik, dengan jumlah sumbu kristalnya ada tiga dan saling tegak lurus satu dengan yang lainnya. yaitu pada kondisi sebenarnya sistem kristal ini memiliki rasio perbandingan

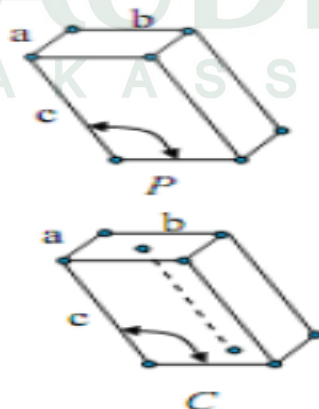
sumbu $a = b = c$. dengan sudut kristalografi $\alpha = \beta = \gamma = 90^\circ$. Hal ini berarti bahwa pada sistem ini semua sudut kristalnya ($\alpha = \beta$ dan γ) tegak lurus satu sama lain membentuk sudut 90° .



Gambar 2.10 Sistem kubik
(Sumber: Agus, 2012: 48)

b. Sistem Monoklinik

Sistem ini juga memiliki tiga sumbu, ketiga sumbu tersebut mempunyai panjang yang tidak sama yaitu sumbu b yang tidak sama dengan c , namun sumbu a tegak lurus terhadap sumbu b . Dengan rasio perbandingan sumbu $a = b \neq c$. Sudut kristalografi yaitu $\alpha = \beta = 90^\circ \neq \gamma$.



Gambar 2.11 Sistem monoklinik
(Sumber: Agus, 2012: 47)

c. Sistem Triklinik

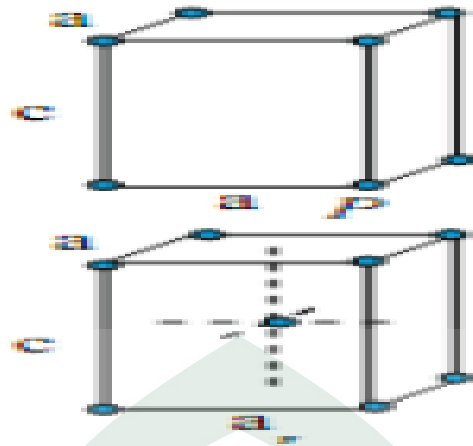
Sistem ini mempunyai tiga sumbu simetri yang satu dengan lainnya tidak saling tegak lurus. Demikian juga panjang masing-masing sumbunya tidak sama yaitu $a \neq b \neq c$. dan juga memiliki sudut kristalografi $\neq 90^\circ$. Hal ini berarti bahwa, pada sistem ini sudut dan γ tidak saling tegak lurus satu dan yang lain.



Gambar 2.12 Sistem triklinik
(Sumber: Kittel, 1976)

d. Sistem Tetragonal

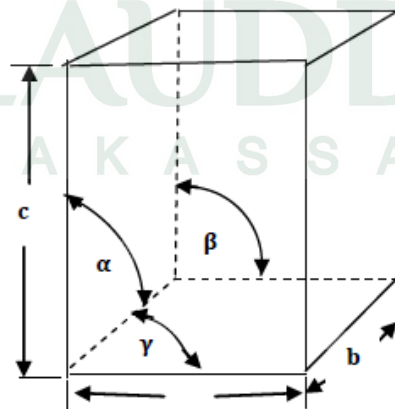
Sama dengan sistem kubik, sistem kristal ini mempunyai tiga sumbu kristal masing-masing saling tegak lurus. Sumbu a dan b mempunyai satuan panjang sama sedangkan sumbu c berlainan, dapat lebih pendek atau lebih panjang. Tapi umumnya lebih panjang. Pada kondisi sebenarnya perbandingan sumbu $a = b \neq c$. Dengan sudut kristalografi $\neq 90^\circ$.



Gambar 2.13 Sistem tetragonal
(Sumber: Agus, 2012: 48)

e. Sistem Orthorhombik

Sistem ini disebut juga sistem Rhombis dan mempunyai tiga sumbusimetrikristal yang saling tegak lurus satu dengan yang lainnya. Ketiga sumbu tersebut mempunyai panjang yang berbeda. Pada kondisi sebenarnya, sistem kristal Orthorhombik memiliki perbandingan sumbu $a \neq b \neq c$. Dan juga memiliki sudut kristalografi $\alpha = \beta = \gamma = 90^\circ$. Hal ini berarti bahwa, pada sistem ini ketiga sudutnya saling tegak lurus (90°).



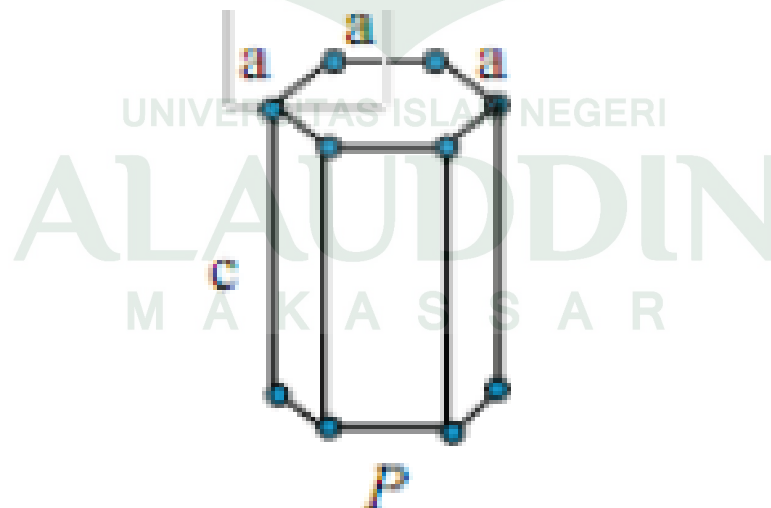
Gambar 2.14 Sistem orthorhombik
(Sumber: Kittel, 1976)

f. Sistem Trigonal/ Rhombohedral

Trigonal memiliki rasio perbandingan sumbu $a = b \neq c$, yang artinya panjang sumbu a dan b sama, tapi tidak sama dengan sumbu c . Dan juga memiliki sudut kristalografi $\alpha = \beta = \gamma \neq 90^\circ > 120^\circ$. Hal ini berarti bahwa, pada sistem ini sudut α dan β saling tegak lurus dan membentuk sudut 120° terhadap sumbu γ .

g. Sistem Hexagonal

Sistem ini mempunyai 3 sumbu kristal, dimana sumbu a dan b memiliki panjang yang sama. Sedangkan panjang sumbu c berbeda. Dapat lebih panjang atau lebih pendek (umumnya lebih panjang). Pada kondisi sebenarnya, sistem kristal Hexagonal memiliki rasio perbandingan sumbu $a = b \neq c$. Dan juga memiliki sudut kristalografi $\alpha = \beta = 90^\circ$; $\gamma = 120^\circ$. Hal ini berarti bahwa, pada sistem ini sudut α dan β saling tegak lurus dan membentuk sudut 120° terhadap sumbu γ (Hidayati, 1995: 8).



Gambar 2.15 Sistem hexagonal
(Sumber: Agus, 2012:49)

2.6 Cara Mengenal Suatu Mineral

Terdapat dua cara untuk dapat mengenal suatu mineral, yang pertama adalah dengan cara mengenal sifat fisiknya dan yang kedua adalah melalui analisis kimiawi atau analisa difraksi sinar X (Noor, 2010).

2.6.1 Sifat Fisik Mineral

a. Bentuk kristal

Apabila suatu mineral mendapat kesempatan untuk berkembang tanpa mendapat hambatan, maka akan mempunyai bentuk kristalnya yang khas. Tetapi apabila dalam perkembangannya ia mendapat hambatan, maka bentuk kristalnya juga akan terganggu. Setiap mineral akan mempunyai sifat bentuk kristalnya yang khas, yang merupakan perwujudan kenampakan luar, yang terjadi sebagai akibat dari susunan kristalnya di dalam.

b. Berat jenis

Setiap mineral mempunyai berat jenis tertentu. Besarnya ditentukan oleh unsur- unsur pembentuknya serta kepadatan dari ikatan unsur -unsur tersebut dalam susunan kristalnya

c. Bidang belah

Mineral mempunyai kecenderungan untuk pecah melalui suatu bidang yang mempunyai arah tertentu. Arah tersebut ditentukan oleh susunan dalam dari atom-atomnya. Dapat dikatakan bahwa bidang tersebut merupakan bidang lemah yang dimiliki oleh suatu mineral.

d. Warna

Warna mineral memang bukan penciri utama untuk dapat membedakan antara mineral yang satu dengan lainnya. Namun paling tidak ada warna-warna yang khas yang dapat digunakan untuk mengenali adanya unsur tertentu di dalamnya. Sebagai contoh warna gelap dipunyai mineral, mengindikasikan terdapatnya unsur besi, disisi lain mineral dengan warna terang, diindikasikan banyak mengandung aluminium.

e. Kekerasan

Salah satu kegunaan dalam mendiagnosa sifat mineral adalah dengan mengetahui kekerasan mineral. Kekerasan adalah sifat resistansi dari suatu mineral terhadap kemudahan mengalami abrasi atau mudah tergores. Kekerasan suatu mineral bersifat relatif, artinya apabila dua mineral saling digoreskan satu dengan lainnya, maka mineral yang tergores adalah mineral yang relatif lebih lunak dibandingkan dengan mineral lawannya. Skala kekerasan mineral mulai dari yang terluak (skala 1) hingga yang terkeras (skala 10) diajukan oleh Mohs dan dikenal sebagai Skala Kekerasan Mohs.

f. Goresan

Beberapa mineral mempunyai goresan pada bidangnya, seperti pada mineral kuarsa dan pyrit, yang sangat jelas dan khas.

g. Kilap

Kilap adalah kenampakan atau kualitas pantulan cahaya dari permukaan suatu mineral. Kilap pada mineral ada dua jenis yaitu kilap Logam dan kilap Non-Logam. Kilap Non-Logam antara lain, kilap mutiara, kilap gelas, kilap sutera, kilap resin dan kilap tanah.

2.6.2 Sifat Kimiawi Mineral

Berdasarkan senyawa kimiawinya, mineral dapat dikelompokkan menjadi mineral Silikat dan Non -Silikat. Terdapat 8 kelompok mineral Non- Silikat, yaitu kelompok Oksida, Sulfida, Sulfat, Native elemen, Halid, Karbonat, Hidroksida dan Phospat. Adapun mineral silikat (mengandung unsur SiO).

2.2.3. Kelompok Mineral

a. Kelompok Native Element (Unsur Murni)

Native element atau unsur murni ini adalah kelas mineral yang dicirikan dengan hanya memiliki satu unsur atau komposisi kimia saja. Mineral pada kelas ini tidak mengandung unsur lain selain unsur pembentuk utamanya. Pada umumnya sifat dalam (tenacity) mineralnya adalah malleable yang jika ditempa dengan palu akan menjadi pipih, atau ductile yang jika ditarik akan dapat memanjang, namun tidak akan kembali lagi seperti semula jika dilepaskan. Menurut (geologi info,2016) kelas mineral di bagi tiga yaitu , antara lain :

1. Metal dan element intermetallic (logam). Contohnya: emas (Au), perak (Ag), Platina (Pt) dan tembaga (Cu). Sistem kristalnya adalah isometrik.
2. Semimetal (Semi logam). Contohnya: bismuth (Bi), arsenic (As), yang keduanya memiliki sistem kristalnya adalah hexagonal.
3. Non metal (bukan logam). Contohnya intan, graphite dan sulfur. sistem kristalnya dapat berbeda-beda, seperti sulfur sistem kristalnya orthorhombic, intan sistem kristalnya isometric, dan graphite sistem kristalnya adalah

hexagonal. Pada umumnya, berat jenis dari mineral-mineral ini tinggi, kisarannya sekitar 6.

b. Kelompok Sulfida

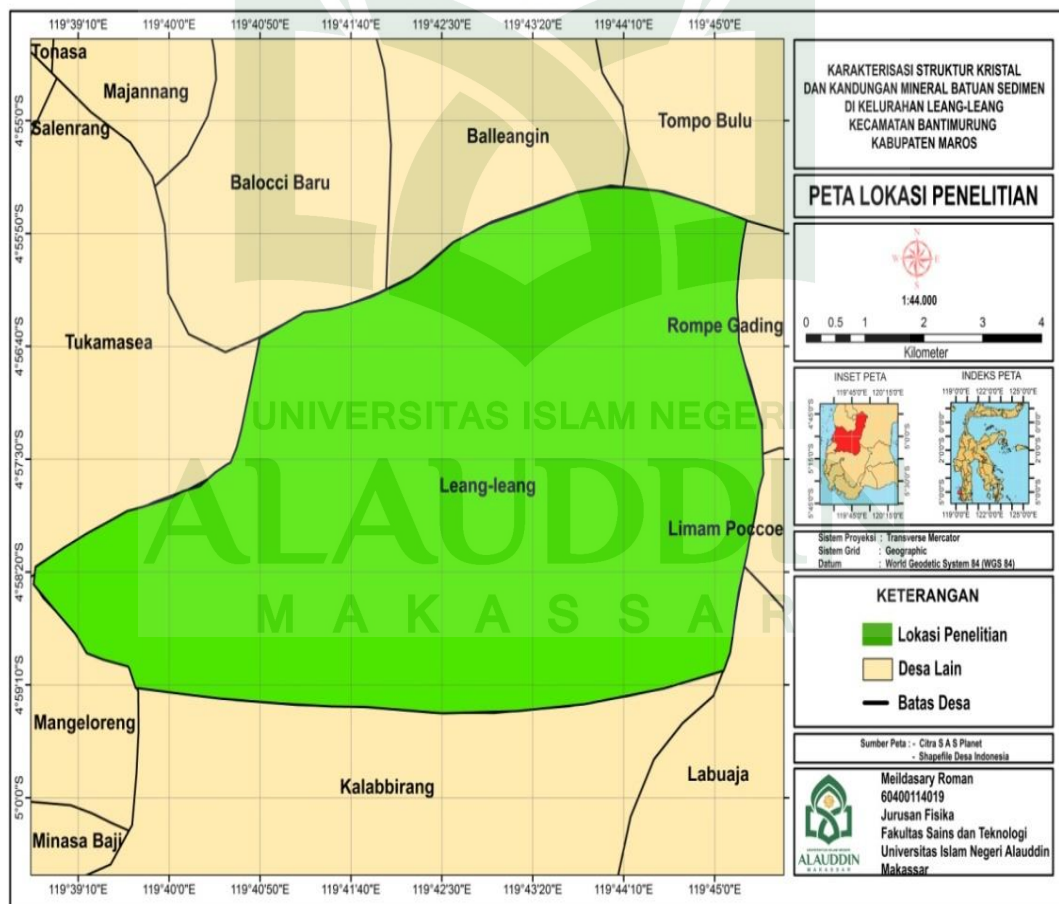
Kelas mineral sulfida atau dikenal juga dengan nama sulfosalt ini terbentuk dari kombinasi antara unsur tertentu dengan sulfur (belerang) (S_2). Pada umumnya unsur utamanya adalah logam (metal), (Geologi info,2016).



BAB III METODE PENELITIAN

3.1 Waktu dan Tempat Penelitian

Waktu dan tempat pelaksanaan penelitian dilaksanakan pada bulan Januari-Juni 2018, bertempat di kelurahan Leang-Leang kecamatan Bantimurung, kabupaten Maros, Sulawesi Selatan. Sedangkan untuk pengujian sampel dan pengolahan data dilakukan di Laboratorium XRD dan XRF Gedung *Science Building* Fakultas MIPA Universitas Hasanuddin Makassar. Adapun peta lokasi penelitian dapat dilihat pada gambar 3.1 berikut:



Gambar 3.1: Peta lokasi penelitian

3.2 Alat dan Bahan Penelitian

Alat dan bahan yang digunakan dalam penelitian ini adalah:

- a. XRD (*X-Ray Diffraction*)
- b. GPS (*Global Positioning Sistem*)
- c. Ayakan
- d. Lumpang
- e. Kantong sampel
- f. Palu
- g. Pahat
- h. Batuan Sedimen

3.3 Prosedur Penelitian

3.3.1 Tahap Persiapan

Studi literatur, yaitu menggunakan bahan pustaka sebagai referensi penunjang untuk memperoleh data tentang geologi daerah survei dan menentukan tempat uji laboratorium penelitian.

3.3.2 Tahap Pengambilan Data

1. Tahap pengambilan sampel

Langkah-langkah dalam pengambilan sampel di lapangan adalah:

- a. Menentukan titik pengambilan sampel dengan menggunakan GPS.
- b. Pengambilan sampel yaitu dengan membuat sayatan tipis atau mengeruk pada bagian permukaan batuan kira-kira 10-20 cm ke arah dalam batuan sehingga pemeliharaan batuan dapat terealisasi.

- c. Mengulangi pengambilan sampel pada titik pengambilan sampel yang berbeda sebanyak lima kali.
- d. Sampel yang sudah ada kemudian dipreparasi dan diuji di laboratorium.

2. Preparasi Sampel

Tahap dari preparasi sampel adalah sebagai berikut:

- a. Menyiapkan sampel dan mengeringkannya untuk menghilangkan kadar air yang terdapat pada sampel serta untuk memudahkan pada saat proses pengayakan.
- b. Menghaluskan sampel dengan menggunakan lumpang.
- c. Mengayak sampel dengan menggunakan ayakan, selanjutnya hasil dari proses pengayakan tersebut ditempatkan pada wadah sampel.
- d. Menguji sampel yang berbentuk serbuk dengan menggunakan *X-Ray Diffraction (XRD)*.

3. Karakteristik Menggunakan *X-Ray Diffraction (XRD)*

- a. Mengaktifkan stabilizer.
- b. Menghidupkan XRD 7000 SHIMADZU dengan cara mengaktifkan atau menekan tombol “UP” selama kurang 5 detik hingga terdengar suara bip.
- c. Menghidupkan Komputer.
- d. Selanjutnya *double* klik XRD pada layar computer.
- e. Mengklik display dan setup.
- f. Memberi nama file dan mengatur tanggal file yang akan disimpan.
- g. Memasukkan sampel ke dalam XRD dengan menggunakan plat aluminium.
- h. Mengklik tombol “start”.

- i. Proses analisis kandungan mineral oleh alat XRD akan berlangsung secara otomatis.
- j. Selanjutnya menyimpan file/data hasil XRD pada komputer.
- k. Mengulangi langkah (e) sampai (j) diatas untuk sampel yang lain.

Tabel 3.1 Karakteristik sampel batuan sedimen dengan XRD

Sampel	Struktur kristal	Kandungan mineral	Persentase kandungan mineral %	Ukuran kisi (Å)
A
B
C
D
E

Keterangan A = Sampel titik 1

B = Sampel titik 2

C = Sampel titik 3

D = Sampel titik 4

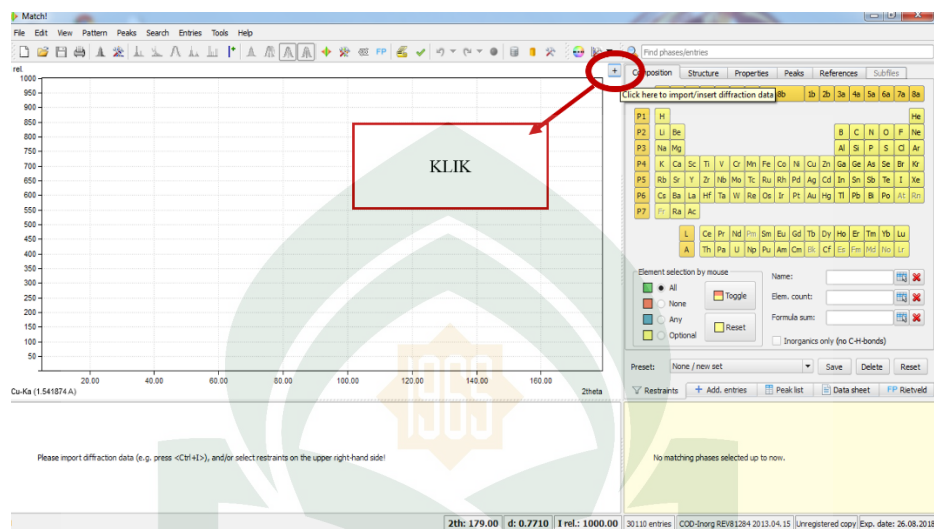
E = Sampel titik 5

4. Tahap Analisis Data

Langkah-langkah yang dilakukan pada tahap analisis data yakni sebagai berikut:

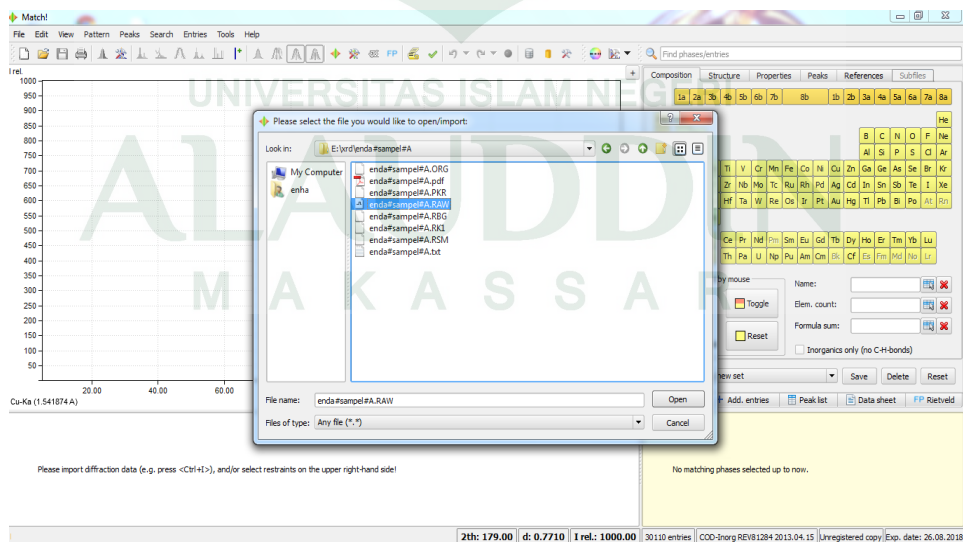
- a. Menghidupkan komputer dan membuka *software Search-Match*.

- b. Menambahkan file dokumen atau data hasil difraksi sinar-X yang telah tersimpan dalam komputer dengan cara mengklik ikon (+) pada tampilan utama *software Search-Match*.



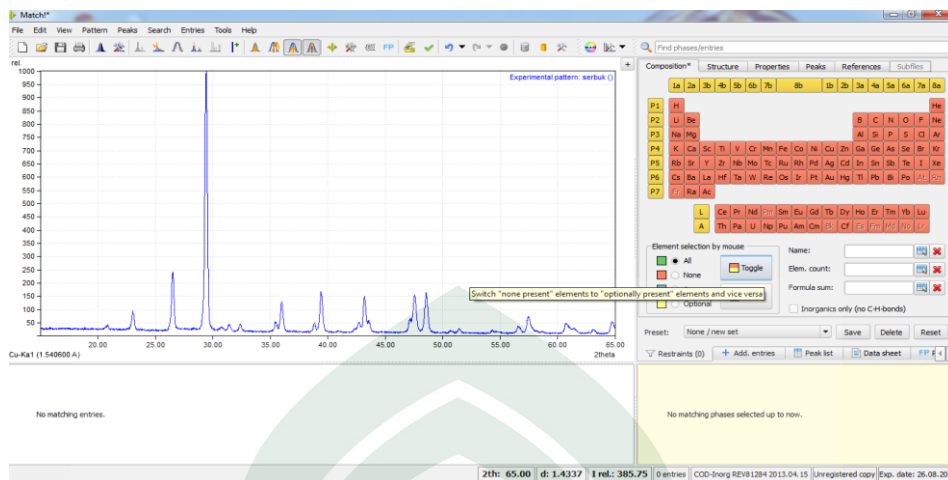
Gambar 3.2 Halaman utama untuk memulai *software Search-Match* (Sumber: Dokumen Pribadi)

- c. Selanjutnya membuka data file yang berformat “RAW” dengan cara mengklik dua kali atau memilih file yang berformat “RAW” tersebut kemudian klik “OPEN”.



Gambar 3.3 Proses penginputan data mentah hasil difraksi sinar-X pada *software Search-Match* (Sumber: Dokumen Pribadi)

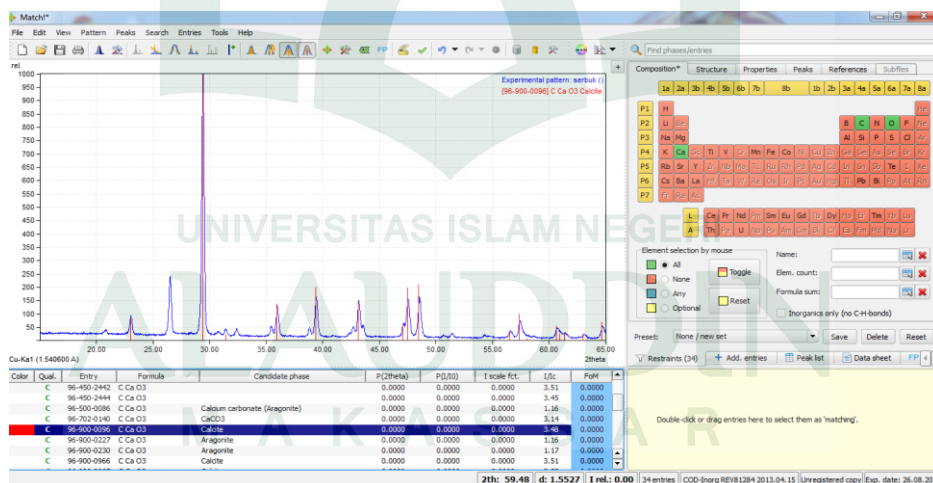
- d. Mengatur tampilan grafik pada *software Search-Match*.



Gambar 3.4 Mengatur tampilan grafik pada *software Search-Match*

(Sumber: Dokumen Pribadi)

- e. Memilih mineral-mineral yang sesuai dengan cara mencocokkan garis tegak lurus dengan puncak grafik sebagai nilai puncak pada grafik hasil difraksi sinar-X pada *software Search-Match*.

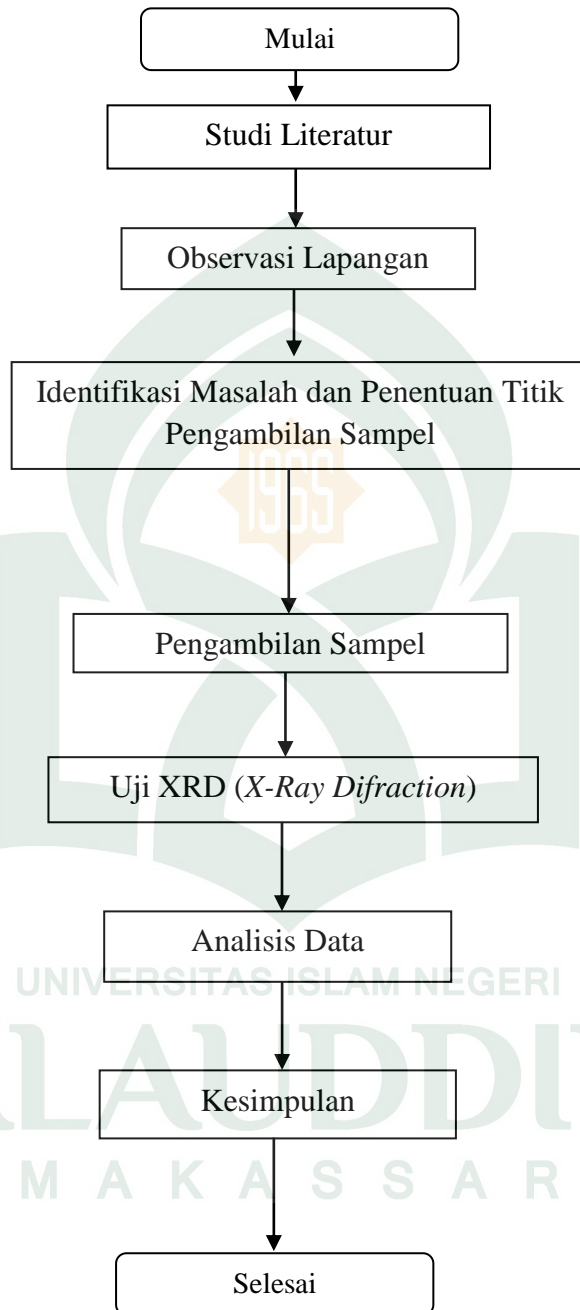


Gambar 3.5 Mineral-mineral yang cocok dengan puncak grafik dari material hasil uji difraksi sinar-X pada *software Search-Match*
(Sumber: Dokumen Pribadi)

- f. Menyimpan file dengan cara klik menu *file* kemudian pilih *save as* lalu pilih lokasi penyimpanan pada komputer.

3.4 Diagram Alir Penelitian

Berikut bagan alir penelitian yang akan dilakukan adalah:



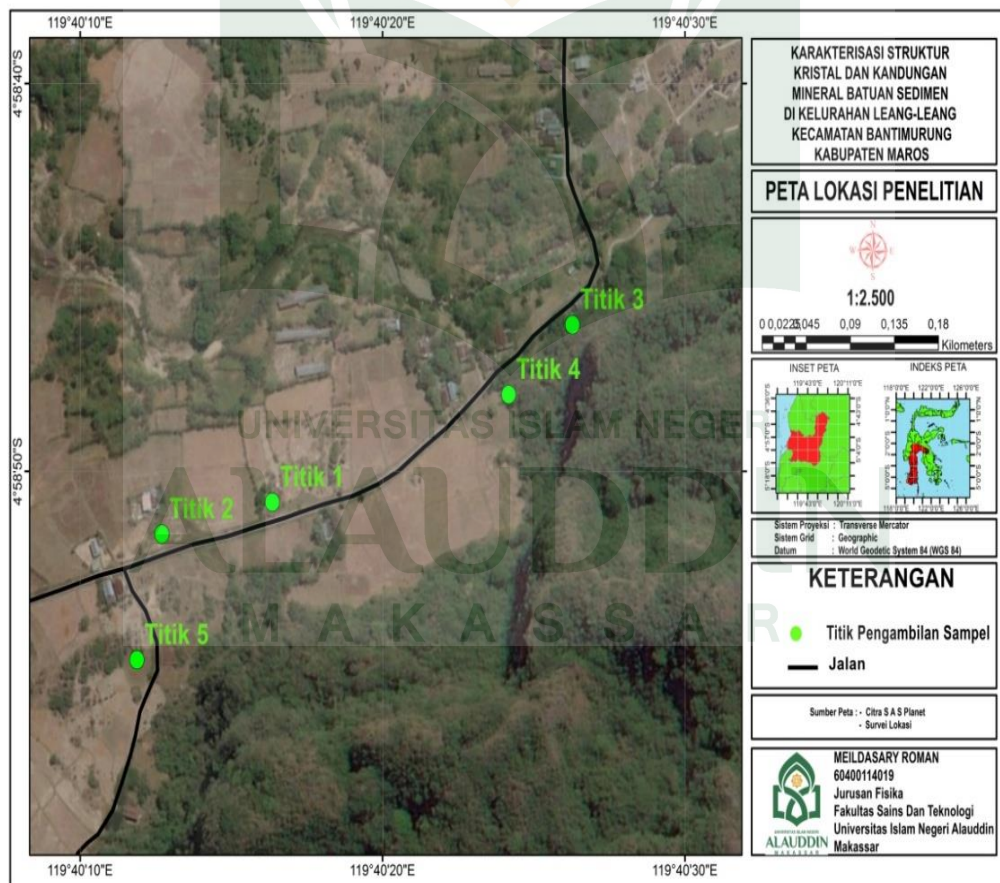
Gambar 3.6 Bagan alir penelitian

BAB IV

HASIL PENELITIAN DAN PEMBAHASAN

4.1 Hasil Penelitian

Penelitian ini dilakukan di kelurahan Leang-leang kecamatan Bantimurung kabupaten Maros. Pengambilan sampel batuan sedimen dilakukan pada lima titik sampel. Selanjutnya melakukan plotting koordinat pada setiap titik pengambilan sampel dengan menggunakan GPS, yang hasilnya dapat dilihat pada gambar 4.1 dibawah:



Gambar 4.1 Letak titik-titik pengambilan sampel

Sampel batuan sedimen yang telah diambil pada masing-masing titik diberi kode sampel yaitu:

A: Sampel yang berwarna putih kecoklatan pada titik 1 ($4^{\circ}58'50.162''$ LS dan $119^{\circ}40'18.291''$ BT).

B: Sampel yang berwarna putih kecoklatan pada titik 2 ($4^{\circ}58'51.325''$ LS dan $119^{\circ}40'12.424''$ BT).

C: Sampel yang berwarna putih kecoklatan pada titik 3 ($4^{\circ}58'46.164''$ LS dan $119^{\circ}40'25.443''$ BT).

D: Sampel yang berwarna putih pada titik 4 ($4^{\circ}58'47.080''$ LS dan $119^{\circ}40'24.344''$ BT).

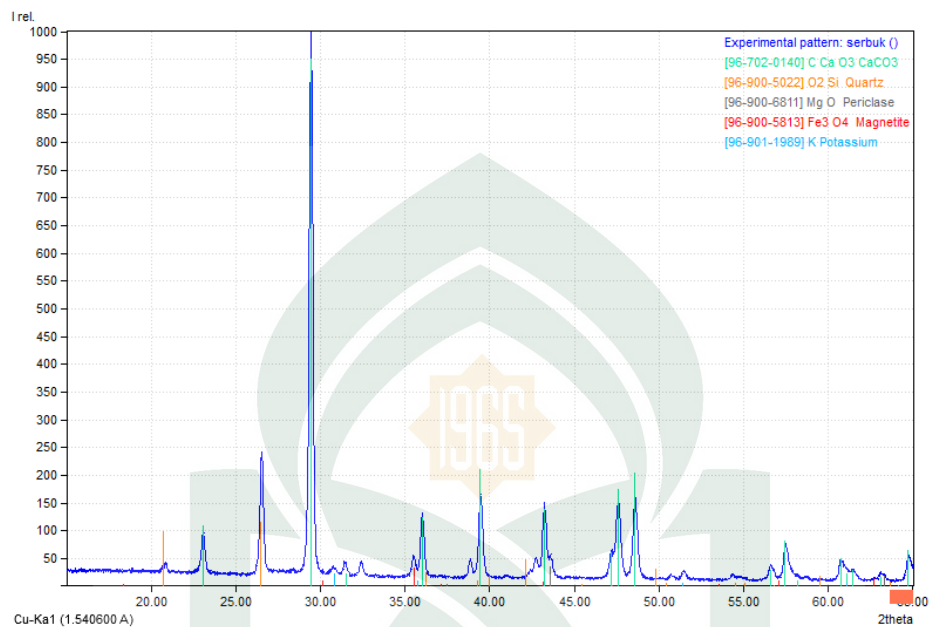
E: Sampel yang berwarna putih pada titik 5 ($4^{\circ}58'53.799''$ LS dan $119^{\circ}40'11.980''$ BT). (Sampel dapat dilihat pada lampiran 4, preparasi sampel).

4.1.1 Struktur Kristal Batuan Sedimen Di Kelurahan Leang-Leang Kecamatan Bantimurung Kabupaten Maros

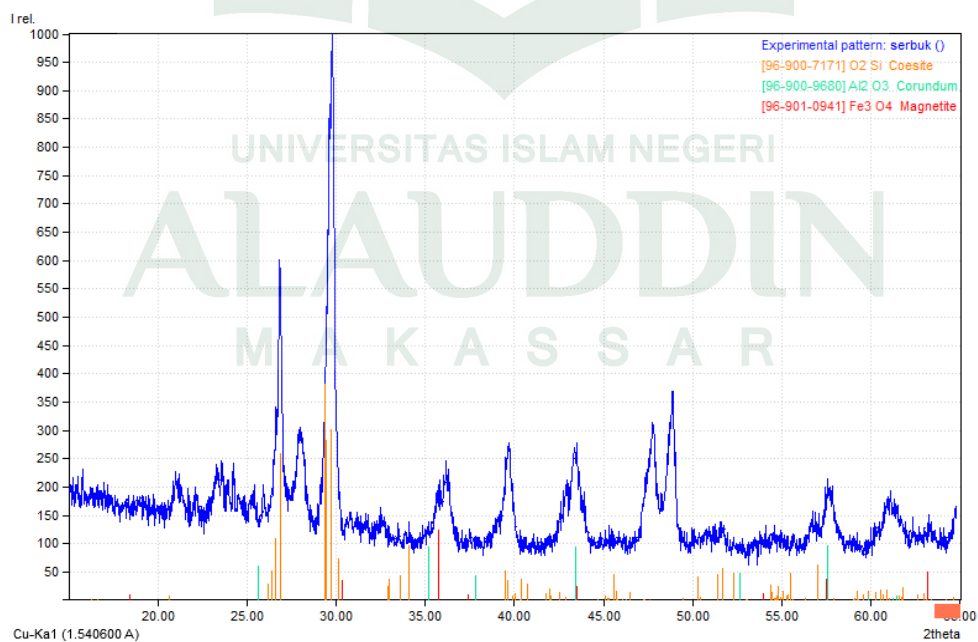
Pengujian *X-Ray Diffraction* (XRD) yang dimulai dengan preparasi sampel yaitu dengan cara menghaluskan sampel menggunakan lumpang dan mengayaknya dengan menggunakan ayakan 170 mesh. (prosesnya dapat dilihat pada lampiran 4, gambar 23-25)

Sampel yang telah berbentuk serbuk kemudian diuji dengan menggunakan *X-Ray Diffraction* (XRD). Hasilnya kemudian terbaca melalui monitor berupa grafik difraktogram yaitu hubungan antara intensitas dan sudut 2θ pada setiap

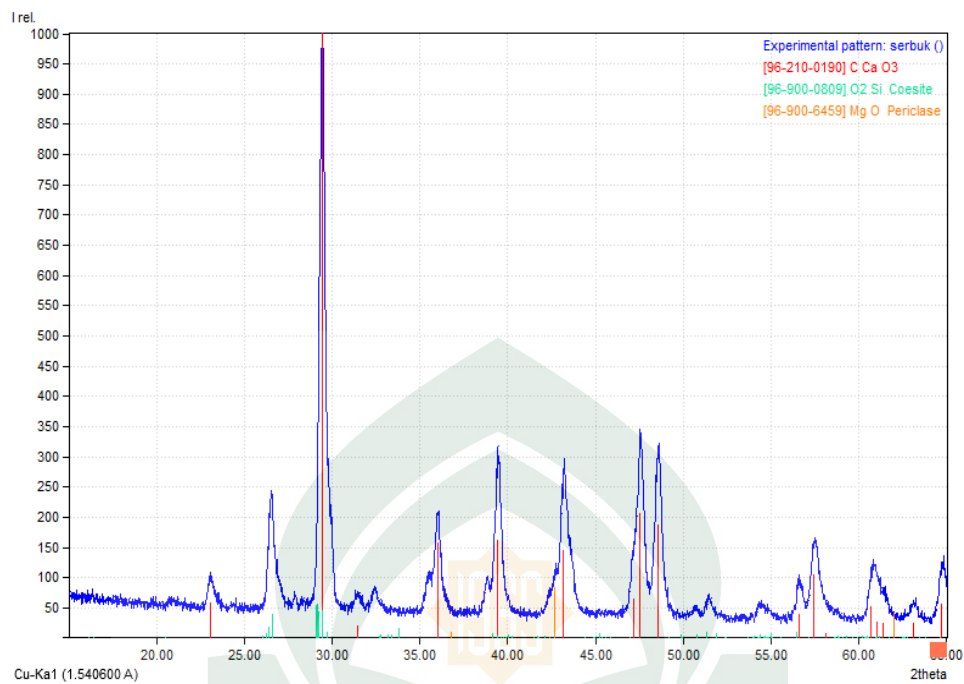
sampel. Bentuk hasil grafik difraktogramnya dapat dilihat pada ke lima grafik berikut:



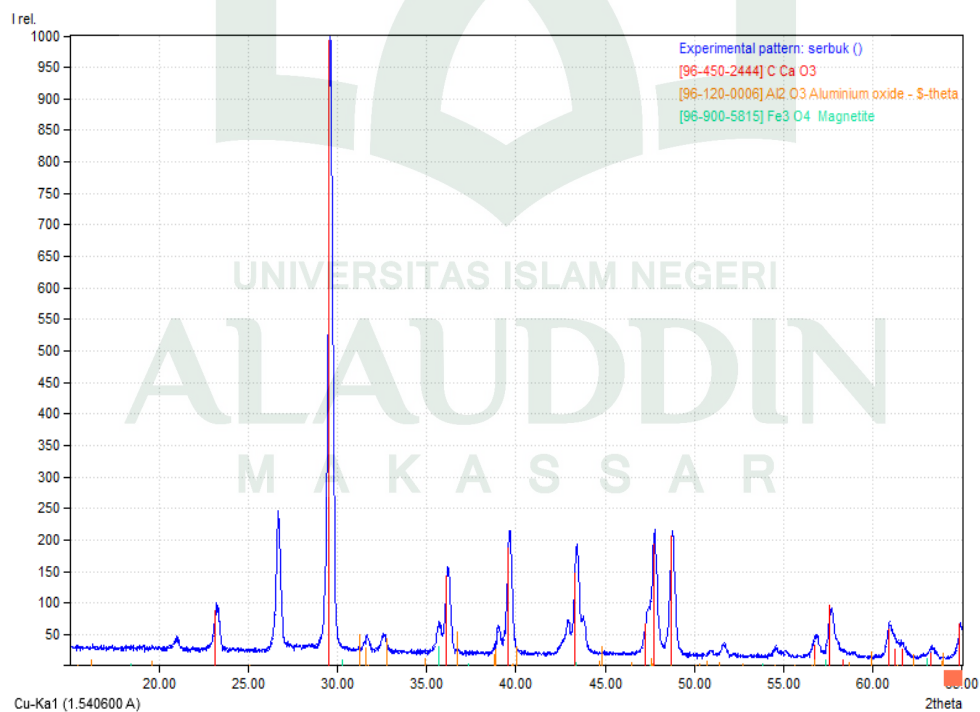
Grafik 4.1: Hubungan antara intensitas dan sudut 2θ pada sampel $4^{\circ}58'50.162''$ LS dan $119^{\circ}40'18.291''$ BT



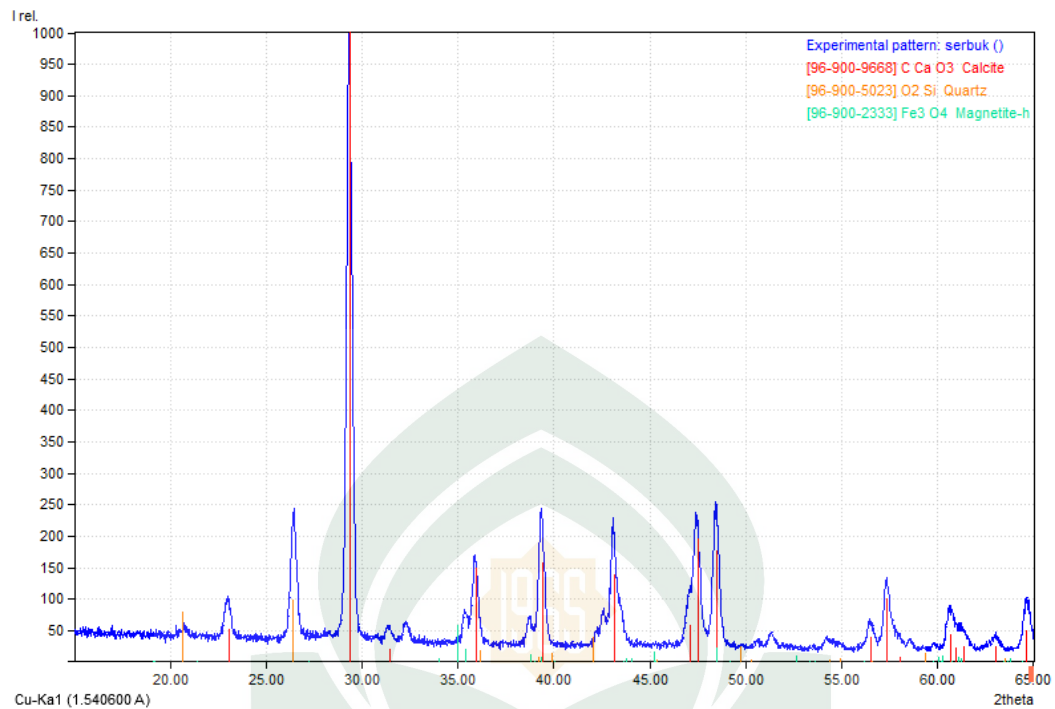
Grafik 4.2: Hubungan antara intensitas dan sudut 2θ pada sampel $4^{\circ}58'51.325''$ LS dan $119^{\circ}40'12.424''$ BT



Grafik 4.3: Hubungan antara intensitas dan sudut 2θ pada sampel $4^{\circ}58'46.164''$ LS dan $119^{\circ}40'25.443''$ BT



Grafik 4.4: Hubungan antara intensitas dan sudut 2θ pada sampel $4^{\circ}58'47.080''$ LS dan $119^{\circ}40'24.344''$ BT



Grafik 4.5: Hubungan antara intensitas dan sudut 2θ pada sampel $4^{\circ}58'53.799''$ LS dan $119^{\circ}40'11.980''$ BT

Setelah diperoleh grafik difraktogram, maka langkah selanjutnya adalah analisis grafik difraktogram dengan menggunakan *software Search Match! 2* untuk mengetahui struktur Kristal dengan hasil sebagai berikut:

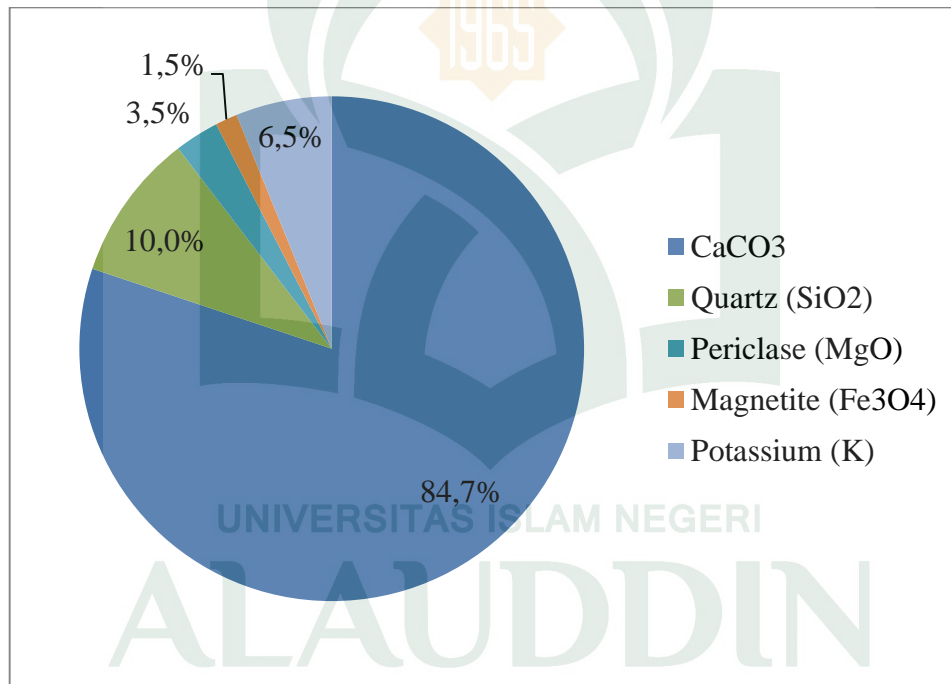
Tabel 4.1 Struktur Kristal

Sampel	Struktur Kristal
A	<i>Trigonal (Hexagonal Axes)</i>
	<i>Trigonal (Hexagonal Axes)</i>
	<i>Cubic</i>
	<i>Cubic</i>
	<i>Cubic</i>
B	<i>Monoclinic</i>
	<i>Trigonal (Hexagonal Axes)</i>
	<i>Cubic</i>
C	<i>Trigonal (Hexagonal Axes)</i>
	<i>Monoclinic</i>
	<i>Cubic</i>
D	<i>Trigonal (Hexagonal Axes)</i>

	<i>Monoclinic</i>
	<i>Cubic</i>
E	<i>Trigonal (Hexagonal Axes)</i>
	<i>Trigonal (Hexagonal Axes)</i>
	<i>Orthorhombic</i>

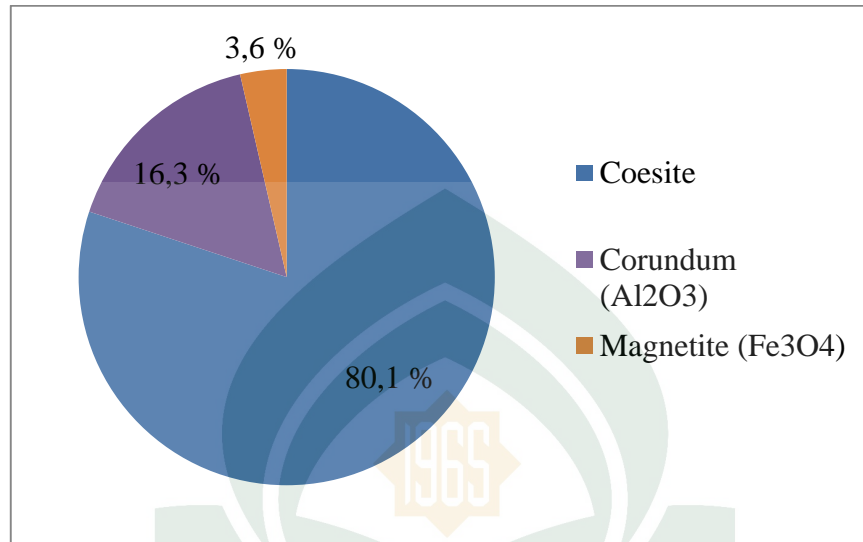
4.1.2 Hasil Analisis Kandungan Mineral Batuan Sedimen di Kelurahan Leang-Leang Kecamatan Bantimurung Kabupaten Maros

Kandungan mineral batuan sedimen untuk sampel 4°58'50.162'' LS dan 119°40'18.291'' BT adalah sebagai berikut:



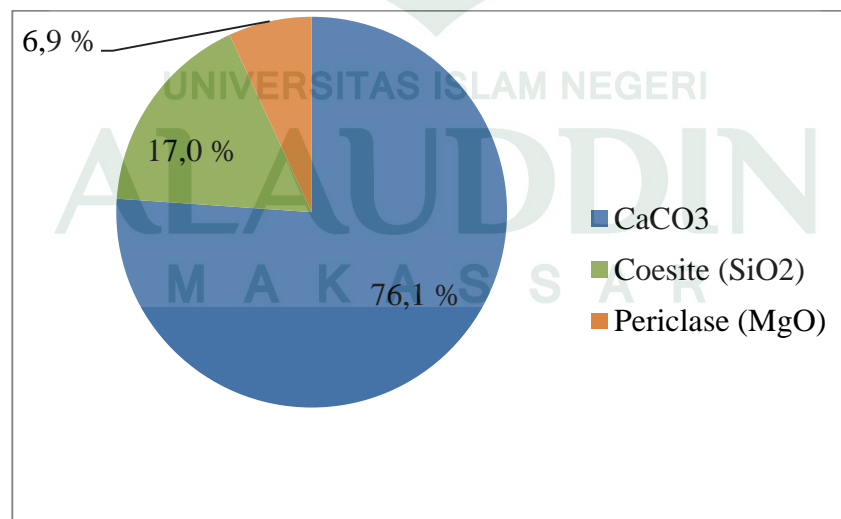
Gambar 4.1: Kandungan mineral batuan sedimen untuk sampel 4°58'50.162'' LS dan 119°40'18.291'' BT

Kandungan mineral batuan sedimen untuk sampel 4°58'51.325'' LS dan 119°40'12.424'' BT adalah sebagai berikut:



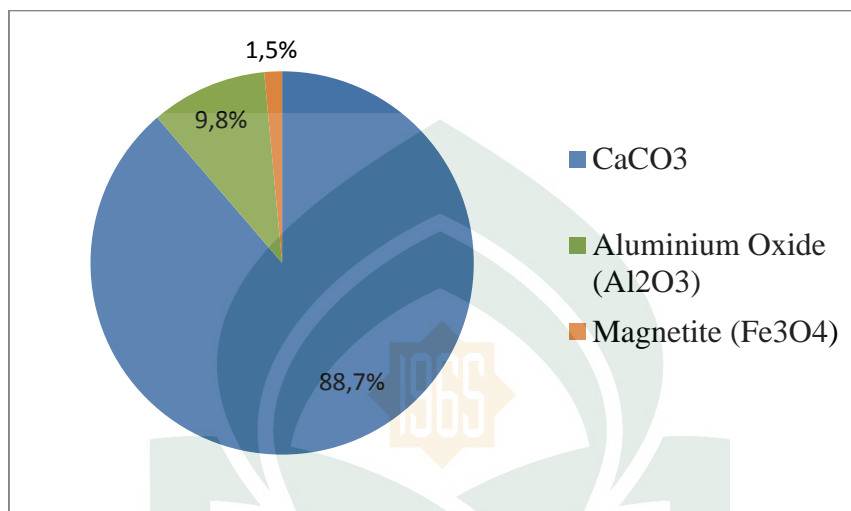
Gambar 4.2: Kandungan mineral batuan sedimen untuk sampel 4°58'51.325'' LS dan 119°40'12.424'' BT

Kandungan mineral batuan sedimen untuk sampel 4°58'46.164'' LS dan 119°40'25.443'' BT adalah sebagai berikut:



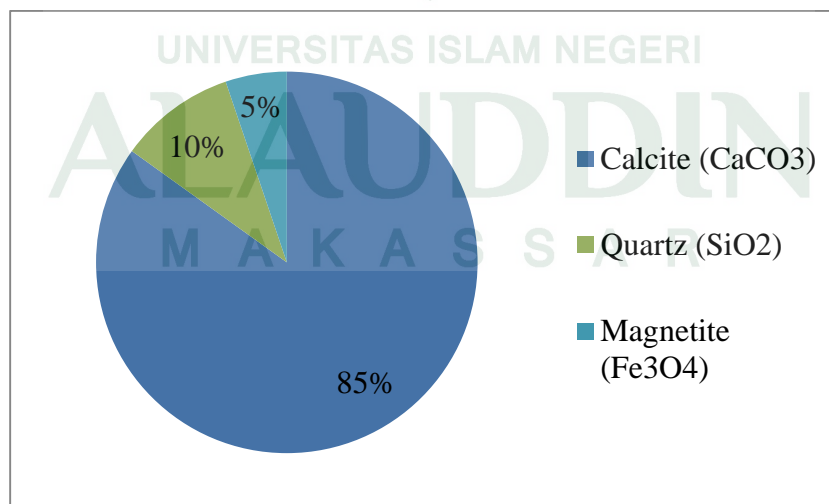
Gambar 4.3: Kandungan mineral batuan sedimen untuk sampel 4°58'46.164'' LS dan 119°40'25.443'' BT

Kandungan mineral batuan sedimen untuk sampel 4°58'47.080'' LS dan 119°40'24.344'' BT adalah sebagai berikut:



Gambar 4.4: Kandungan mineral batuan sedimen untuk sampel 4°58'47.080'' LS dan 119°40'24.344'' BT

Kandungan mineral batuan sedimen untuk sampel 4°58'53.799'' LS dan 119°40'11.980'' BT adalah sebagai berikut:



Gambar 4.5: Kandungan mineral batuan sedimen untuk sampel 4°58'53.799'' LS dan 119°40'11.980'' BT

4.2 Pembahasan

Hasil analisis secara keseluruhan untuk sampel 4°58'50.162'' LS dan 119°40'18.291'' BT dapat disimpulkan struktur kristal batuan sedimen dengan puncak tertinggi dimiliki oleh kalsium karbonat (CaCO_3) sebanyak 84,7 % dengan struktur kristal *Trigonal (hexagonal-axes)*. *Trigonal* memiliki rasio perbandingan sumbu $a = b \neq c$, yang artinya panjang sumbu a dan b sama, tapi tidak sama dengan sumbu c. Dan juga memiliki sudut kristalografi $\alpha = \beta = \gamma \neq 90^\circ > 120^\circ$. Hal ini berarti bahwa, pada sistem ini sudut α dan β saling tegak lurus dan membentuk sudut 120° terhadap sumbu γ . Adapun kandungan mineral lainnya yang terdapat pada sampel 4°58'50.162'' LS dan 119°40'18.291'' BT antara lain, silikon oksida (SiO_2) sebesar 10,0 %, magnesium oksida (MgO) sebesar 3,0 %, besi (FeO_4) sebesar 1,5 % dan potassium (K) sebesar 6,5 %.

Selanjutnya untuk sampel 4°58'51.325'' LS dan 119°40'12.424'' BT juga dilakukan perlakuan yang sama. Seperti halnya pada sampel 4°58'50.162'' LS dan 119°40'18.291'' BT sehingga diperoleh bahwa sampel 4°58'51.325'' LS dan 119°40'12.424'' BT memiliki puncak tertinggi adalah *Coesite* (SiO_2) sebanyak 80,1 % dengan struktur kristal yang berbeda dengan sampel 4°58'50.162'' LS dan 119°40'18.291'' BT yaitu *Monoclinic*. Sistem ini juga memiliki tiga sumbu, ketiga sumbu tersebut mempunyai panjang yang tidak sama yaitu sumbu b yang tidak sama dengan c, namun sumbu a tegak lurus terhadap sumbu b. Dengan rasio perbandingan sumbu $a = b \neq c$. Sudut kristalografi yaitu $90^\circ \neq \gamma$. Adapun kandungan mineral lainnya yang terdapat pada sampel 4°58'51.325'' LS dan

119°40'12.424'' BT yaitu, *Corundum* (Al_2O_3) sebesar 16,3 % dan Magnetite (Fe_3O_4) sebesar 3,6 %.

Selanjutnya untuk sampel 4°58'46.164'' LS dan 119°40'25.443'' BT juga dilakukan perlakuan yang sama. Seperti halnya pada sampel yang kedua sehingga diperoleh bahwa sampel 4°58'46.164'' LS dan 119°40'25.443'' BT memiliki puncak tertinggi adalah kalsium karbonat (CaCO_3) sebanyak 76,1 % dengan struktur kristal yang sama dengan sampel 4°58'50.162'' LS dan 119°40'18.291'' BT yaitu Trigonal (*hexagonal-axes*). Adapun kandungan mineral lainnya yang terdapat pada sampel 4°58'50.162'' LS dan 119°40'18.291'' BT antara lain, silika oksida (SiO_2) sebesar 17,0 % dan magnesium oksida (MgO) sebesar 6,9 %.

Selanjutnya untuk sampel 4°58'47.080'' LS dan 119°40'24.344'' BT juga dilakukan perlakuan yang sama. Seperti halnya pada sampel yang pertama sehingga diperoleh bahwa sampel 4°58'47.080'' LS dan 119°40'24.344'' BT memiliki puncak tertinggi adalah kalsium karbonat (CaCO_3) sebanyak 88,7 % dengan struktur kristal yang sama dengan sampel 4°58'50.162'' LS dan 119°40'18.291'' BT yaitu Trigonal (*hexagonal-axes*). Adapun kandungan mineral lainnya yang terdapat pada sampel 4°58'47.080'' LS dan 119°40'24.344'' BT antara lain, aluminium oksida (Al_2O_3) sebesar 9,8 % dan besi (Fe_3O_4) sebesar 1,5 %.

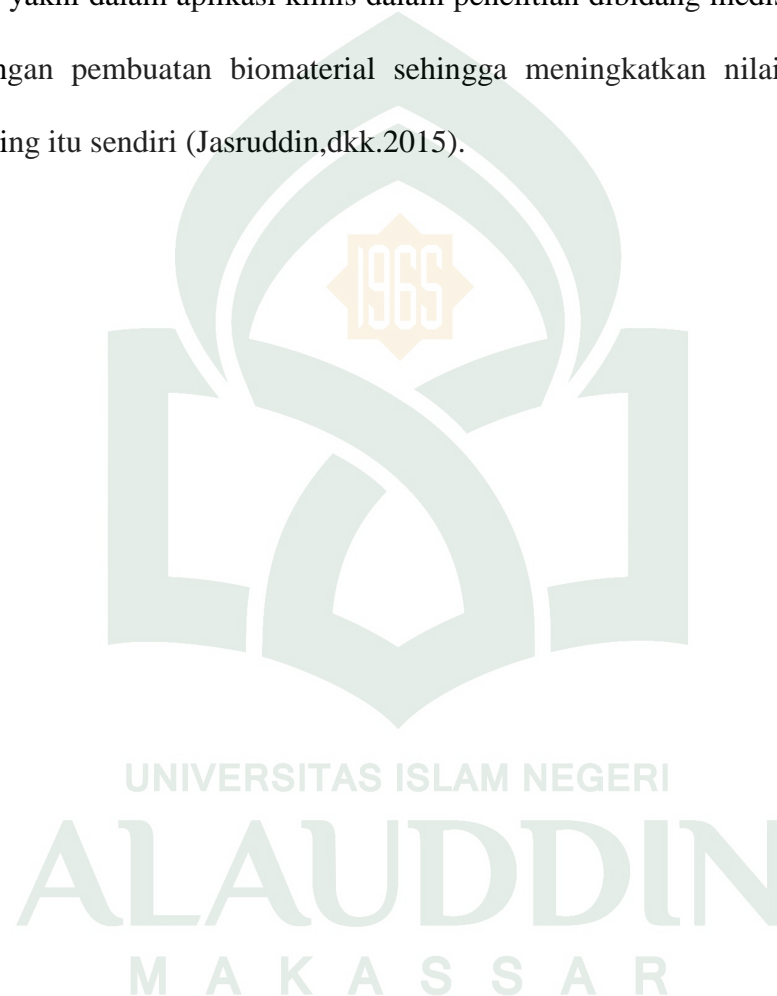
Selanjutnya untuk sampel 4°58'53.799'' LS dan 119°40'11.980'' BT juga dilakukan perlakuan yang sama. Seperti halnya pada sampel-sampel sebelumnya sehingga diperoleh bahwa sampel 4°58'53.799'' LS dan 119°40'11.980'' BT

memiliki puncak tertinggi adalah kalsium karbonat (CaCO_3) sebanyak 85,0 % dengan struktur kristal yang sama dengan sampel 4°58'50.162'' LS dan 119°40'18.291'' BT, 4°58'46.164'' LS dan 119°40'25.443'' BT dan 4°58'47.080'' LS dan 119°40'24.344'' BT yaitu *Trigonal (hexagonal-axes)*. Adapun kandungan mineral lainnya yang terdapat pada sampel A antara lain silika oksida (SiO_2) sebesar 9,9 % dan besi (Fe_3O_4) sebesar 5,2 %.

Hasil penelitian yang telah dilakukan di kelurahan Leang-leang kecamatan Bantimurung kabupaten Maros dari kelima titik pengambilan sampel diperoleh kandungan mineral kalsium karbonat (CaCO_3) yang menempati titik terpuncak dari grafik-grafik difraktogram. Kalsium karbonat (CaCO_3) merupakan mineral penyusun utama dari batu gamping. Penelitian tersebut dijelaskan oleh Galid Laraebi (2017) tentang "Karakterisasi Kandungan Mineral Dan Unsur Penyusun Batu Gamping Pada PT Semen Tonasa" dengan hasil penelitiannya diperoleh karakteristik mineral batuan gamping yaitu kalsium karbonat (CaCO_3) sebagai mineral penyusun utama dari batu gamping. Seperti yang diketahui, batu gamping merupakan salah satu jenis batuan dari batuan sedimen.

Saputro, dkk (2014) menjelaskan bahwa batu gamping biasanya digunakan sebagai bahan baku dalam industri semen, dengan kandungan mineral tertentu. Seperti kandungan mineral *high-calsium limestone* yaitu kandungan kalsium karbonat 54,3 % kalsium oksida (CaO) dan magnesium karbonat < 0,96 %. Sehingga apabila kandungan mineral *high-calsium limestone* mencukupi dapat dijadikan sebagai bahan baku semen.

Batu gamping sebagian besar mengandung mineral kalsium karbonat yaitu sekitar 80 % - 95 %. Kandungan kalsium ini dapat diubah menjadi kalsium oksida dengan kalsinasi sehingga lebih mudah dimurnikan untuk mendapatkan kalsiumnya. Dengan cara ini, batu gamping dapat dimanfaatkan dalam sektor kesehatan, yakni dalam aplikasi klinis dalam penelitian dibidang medis dan untuk perkembangan pembuatan biomaterial sehingga meningkatkan nilai ekonomis batu gamping itu sendiri (Jasruddin,dkk.2015).



BAB V

PENUTUP

5.1 Kesimpulan

Dari hasil penelitian yang telah dilakukan mengenai karakteristik struktur kristal dan kandungan mineral batuan Sedimen di kelurahan Leang-leang kecamatan Bantimurung kabupaten Maros, maka dapat disimpulkan bahwa:

1. Struktur kristal batuan sedimen dengan puncak tertinggi yang dimiliki sampel 4°58'50.162'' LS dan 119°40'18.291'' BT, 4°58'46.164'' LS dan 119°40'25.443'' BT, 4°58'47.080'' LS dan 119°40'24.344'' BT dan 4°58'53.799'' LS dan 119°40'11.980'' BT yaitu struktur kristal Trigonal (*hexagonal-axes*) dan sampel 4°58'51.325'' LS dan 119°40'12.424'' BT yaitu struktur kristal *Monoclinic*.
2. Kandungan Mineral pada sampel 4°58'50.162'' LS dan 119°40'18.291'' BT yaitu kalsium karbonat (CaCO_3) sebesar 84,7 %, silika oksida (SiO_2) sebesar 10,0 %, magnesium oksida (MgO) sebesar 3,0 %, besi (FeO_4) sebesar 1,5 % dan potassium (K) sebesar 6,5 %. Pada sampel 4°58'51.325'' LS dan 119°40'12.424'' BT yaitu silika oksida (SiO_2) sebesar 80,1%, *Corumdum* (Al_2O_3) 16,3 % dan *Magnetite* (Fe_3O_4) 3,6 %. Pada sampel 4°58'46.164'' LS dan 119°40'25.443'' BT yaitu kalsium karbonat (CaCO_3) sebesar 76,1 %, silika oksida (SiO_2) sebesar 17,0 % dan magnesium oksida (MgO) sebesar 6,9 %. Pada sampel 4°58'47.080'' LS dan 119°40'24.344'' BT yaitu kalsium karbonat (CaCO_3) sebesar 88,7 %, aluminium oksida

(Al_2O_3) sebesar 9,8 % dan besi (Fe_3O_4) sebesar 1,5 %. Pada sampel 4°58'53.799" LS dan 119°40'11.980" BT yaitu kalsium karbonat (CaCO_3) sebesar 85,0 %, silika oksida (SiO_2) sebesar 9,9 % dan besi (Fe_3O_4) sebesar 5,2 %. Dari kelima data diatas kandungan mineral yang dominan adalah kalsium karbonat (CaCO_3) yang merupakan penyusun utama dari batugamping (sedimen).

5.2 Saran

Penelitian ini dilakukan untuk mengetahui struktur kristal dan kandungan mineral kandungan sedimen di kelurahan Leang-leang kecamatan Bantimurung kabupaten Maros. Penelitian selanjutnya disarankan untuk menggunakan SEM dalam pengujian sampel agar dapat diketahui bentuk morfologi batuan sedimen.

DAFTAR PUSTAKA

- Agus, dkk. *Karakterisasi Material "Prinsip Dan Aplikasinya Dalam Penelitian Kimia"*. Bandung: Upi Press, 2012.
- Djadhari, Noor. *Pengantar Geologi Mineral Dan Batuan*. Perpustakaan UM: Doddy Setia Graham, 2009.
- Fery M. "Lambung Pustaka UNY" *Artikel*, (2012), h. 13-53. <http://eprints.uny.ac.id/8160/3/bab%20%20-%20%20008306141017.pdf> (Diakses 3 Februari 2016).
- Grant, N. M, Suryanayana. *X-Ray Diffraction, A. Partical Approach*. New York: Plem Nam Press, 1998.
- Haris Abdul, Bunga Dara Amin, A. Momang Yusuf, Nurhasmi "Sintesis dan Karakterisasi Pyrite (FeS_2) dari Deposit Mineral Kecamatan Bontocani, Kabupaten Bone Sulawesi Selatan "Jurusan Fisika FMIPA Universitas Negeri Makassar, Makassar, 2014.
- Hidayati. "Penentuan Struktur Oksida Uranium". *PPNY-BATAN Yogyakarta*, (1995):h.8. <http://www.iaea.org/inis/collection/NCLCollectionStore/Punlic/33/023/33023315.pdf>. (Diakses 3 Februari 2016).
- Jasruddin, dkk. *Karakterisasi Kalsium Karbonat ($CaCO_3$) dari Batu Kapur Kelurahan Tellu Lempoe Kecamatan Suppa*. Jurnal Sains Dan Pendidikan Fisika. Jilid 11, N0.2, Agustus 2015.
- Kementrian Agama Republik Indonesia. *Al-quran dan Terjemahan-Nya Edisi Ilmu Pengetahuan*. Bandung: Al-Mizan, 2012.
- Kittel, Charles. *Intruduction to Solid State Physics*. USA: John Wiley & Sons, 1976.
- Mailinda, dkk. *Sintesa Hydroxyapstite ($Ca_{10}(PO_4)_6(OH)_2$) Berbasis Batu Kapur*. Jurnal Penelitian Fisika dan Aplikasinya (JPFA). Vol. 6, No.2, Juli 2013.
- Muhammad, Abdullah. 2009. *Tafsir Ibnu Katsir Jilid 4*. Jakarta: Pustaka Imam Asy-Syafi'i.
- Murdaka Bambang, Kuntoro Tri. 2010. *Fisika Dasar Listrik-Magnet, Optika, Fisika Modern untuk Mahasiswa Ilmu-ilmu Eksakta & Teknik*. Yogyakarta: Andi.
- Prasanti, Anggita, dkk. Analisis Karakterisasi XRD Sintesis Material LaO_3 , $7CaO_3$, $3(Mn,Co)O_3$ Melalui Metode *Mechanical Alloying*. Volume IV, Oktober 2015.
- Prawitosari, T. 2011. *Dampak Penambangan di Kawasan Kars Maros Terhadap Lingkungan*, Disajikan pada Workshop Lembaga Kars Indonesia pada

Tanggal 19 Oktober 2011 di Bogor, Staf Peneliti Pusat Penelitian Lingkungan Hidup, Universitas Hasanuddin, Makassar.

Pemerintah Daerah Kabupaten Maros. 2015. "Geografi Kabupaten Maros".
<http://www.maroskab.go.id/geografi.html>

Santoso Bagus Jaya, Dkk., "Penentuan Struktur Bawah Permukaan Disekitar Gunung Kelud Kabupaten Kediri" *Penelitian Fisika Dan Aplikasinya* (JPFA), Vol 2,1.2012, ISSN 087-9946.

Shihab, MQuraish. 2000. *Tafsir Al-Misbah Volume 5 Pesan, Kesan dan Keserasian Al-Qur'an*. Jakarta: Lentera Hati.

Shihab, MQuraish. 2009. *Tafsir Al-Misbah Volume 11 Pesan, Kesan dan Keserasian Al-Qur'an*. Jakarta: Lentera Hati.

Sudaryo, Broto, dkk. "Aplikasi Metode Geomagnet Dalam Eksplorasi Panas Bumi" *Jurnal Teknik* 32, No 1, 2011, ISSN 0852-1697.

Suhadi, dkk. 1998. *Kimia Lingkungan, Proses Radiasi dan Industri Jilid 2, Pusat Aplikasi Isotop dan Radiasi*, BATAN, Jakarta.

Syarifuddin, dkk. *Penentuan Umur Batuan Gamping Penyusun Gua Leang-Leang Melalui Pengukuran Aktivitas ^{14}C Dengan Metode LSC (Liquid Scintillation Counting)*. 2013, ISSN(502-503)

Widywati, N. 2012. *Analisa Pengaruh Heating Rate Terhadap Tingkat Kristal Dan Ukuran Butir Lampiran BZT Yang Ditumbuhkan Dengan Metode Sol Bel*, Surakarta: Universitas Sebelas Maret.

Wiyatmo, Yusman. 2010. *Fisika Modern*. Yogyakarta: Pustaka Pelajar.

ALAUDDIN
M A K A S S A R



LAMPIRAN LAMPIRAN

UNIVERSITAS ISLAM NEGERI
ALAUDDIN
M A K A S S A R

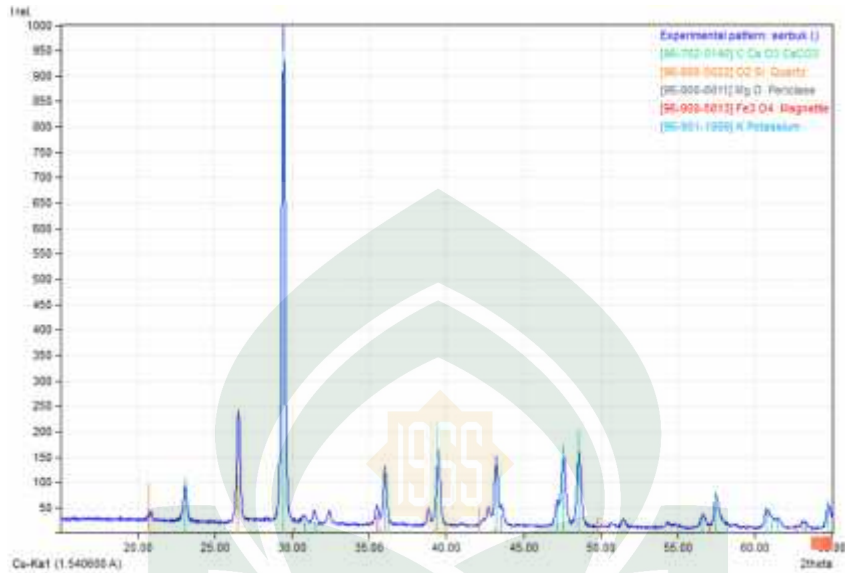


LAMPIRAN I
HASIL PENELITIAN

UNIVERSITAS ISLAM NEGERI
ALAUDDIN
M A K A S S A R

SAMPEL A

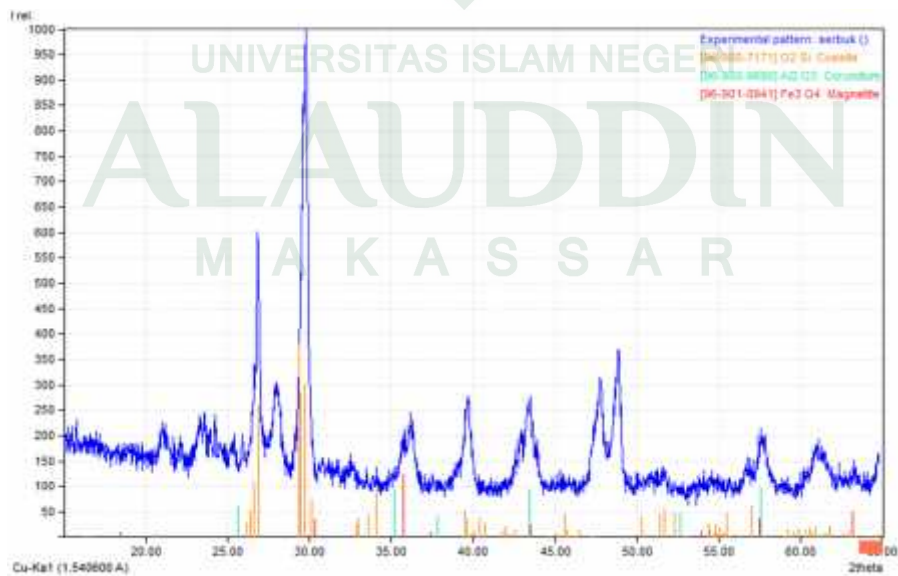
Pada Titik Koordinat 4°58'50.162" LS dan 119°40'18.291" BT



Grafik 1: Hubungan antara intensitas dan sudut 2θ pada sampel batuan di titik 1

SAMPEL B

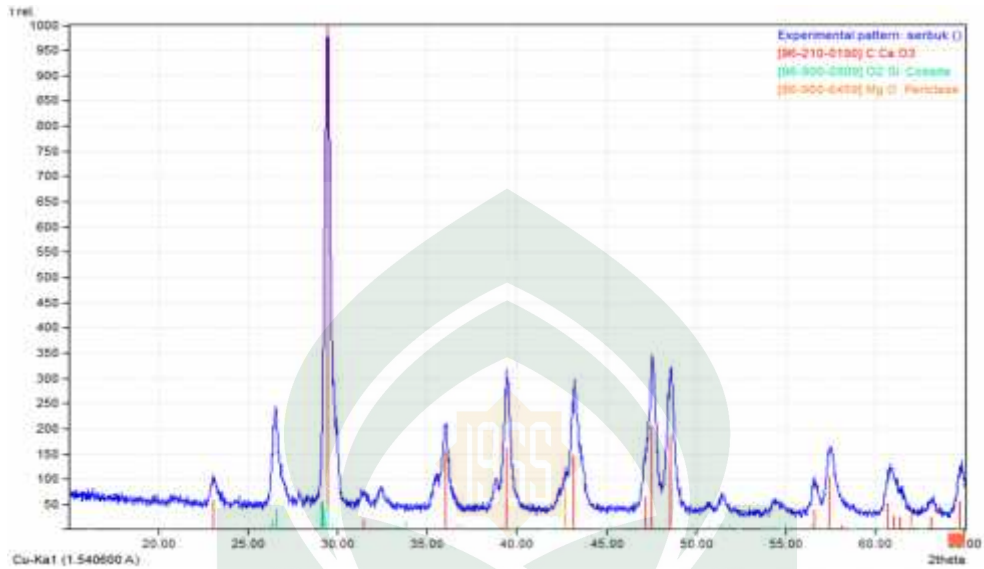
Pada Titik Koordinat 4°58'51.325" LS dan 119°40'12.424" BT



Grafik 2: Hubungan antara intensitas dan sudut 2θ pada sampel batuan di titik 2

SAMPEL C

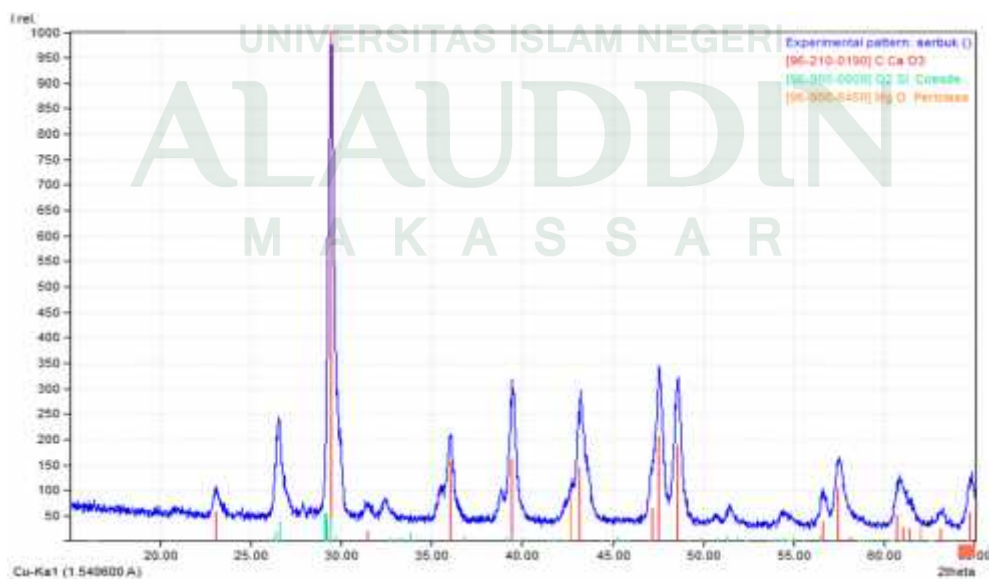
Pada Titik Koordinat 4°58'46.164" LS dan 119°40'25.443" BT



Grafik 3: Hubungan antara intensitas dan sudut 2θ pada sampel batuan di titik 3

SAMPEL D

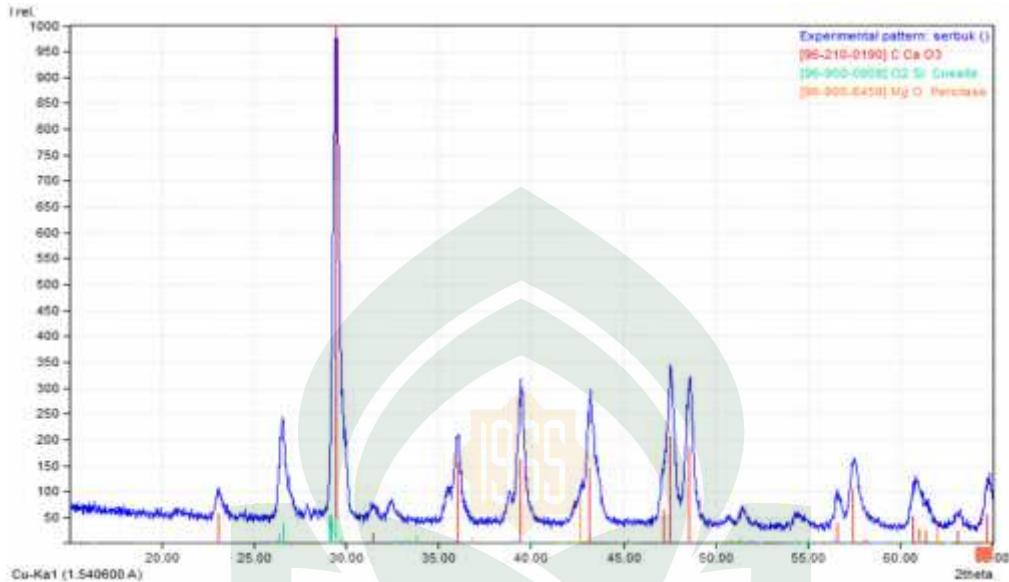
Pada Titik Koordinat 4°58'47.080" LS dan 119°40'24.344" BT



Grafik 4: Hubungan antara intensitas dan sudut 2θ pada sampel batuan di titik 4

SAMPEL E

Pada Titik Koordinat 4°58'53.799" LS dan 119°40'11.980" BT



Grafik 5: Hubungan antara intensitas dan sudut 2θ pada sampel batuan di titik 5

Sampel	Struktur Kristal	Kandungan Mineral	Persentase Kandungan Mineral (%)	Ukuran Kisi (Å)
A	<i>Trigonal (hexagonal axes)</i>	CaCO ₃	84,7	a= 4.9869 c= 17.0335
	<i>Trigonal (hexagonal axes)</i>	Quartz (SiO ₂)	10,0	a= 4.9509 c= 5.4285
	<i>Cubic</i>	Periclase (MgO)	3,0	a= 4.1515
	<i>Cubic</i>	Magnetite (Fe ₃ O ₄)	1,5	a= 8.3778
	<i>Cubic</i>	Potassium (K)	6,5	a= 5.0250
B	<i>Monoclinic</i>	Coesite (SiO ₂)	80,1	a= 6.9126 b= 12.1610 c= 7.0746
	<i>Trigonal (hexagonal axes)</i>	Corundum (Al ₂ O ₃)	16,3	a= 4.7537 c= 12.9725
	<i>Cubic</i>	Magnetite (Fe ₃ O ₄)	3,6	a= 8.3198
C	<i>Trigonal</i>	CaCO ₃	76,1	a= 4.9870

	<i>(hexagonal axes)</i>			c= 17.0580
	<i>Monoclinic</i>	<i>Coesite (SiO₂)</i>	17,0	a= 6.9897 b= 12.2330 c= 7.1112
	<i>Cubic</i>	<i>Periclase (MgO)</i>	6,9	a= 4.2318
D	<i>Trigonal (hexagonal axes)</i>	<i>CaCO₃</i>	88,7	a= 4.9758 c= 16.9921
	<i>Monoclinic</i>	<i>Aluminium Oxide (Al₂O₃)</i>	9,8	a= 11.7950 b= 2.9100 c= 5.6210
	<i>Cubic</i>	<i>Magnetite (Fe₃O₄)</i>	1,5	a= 8.3390
E	<i>Trigonal (hexagonal axes)</i>	<i>Calcite (CaCO₃)</i>	85,0	a= 4.9910 c= 17.0680
	<i>trigonal (hexagonal axes)</i>	<i>Quartz (SiO₂)</i>	9,9	a= 4.9628 c= 5.4360
	<i>Orthorhombic</i>	<i>Magnetite (Fe₃O₄)</i>	5,2	a= 9.2730 b= 9.2390 c= 2.7460



LAMPIRAN II

ANALISIS DATA

UNIVERSITAS ISLAM NEGERI
ALAUDDIN
M A K A S S A R

Match! Phase Analysis Report

Sample: serbuk ()

Sample Data

File name enda#sampel#A.RAW
File path E:/xrd/enda#sampel#A
Data collected Jun 27, 2018 05:35:40
Data range 15.010° - 65.010°
Number of points 2501
Step size 0.020
Rietveld refinement converged No
Alpha2 subtracted No
Background subtr. No
Data smoothed No
2theta correction 0.01°
Radiation X-rays
Wavelength 1.540600 Å

Matched Phases

Index	Amount (%)	Name	Formula sum
A	84.7	CaCO3	C Ca O3
B	10.0	Quartz	O2 Si
C	3.0	Periclase	Mg O
D	1.5	Magnetite	Fe3 O4
E	0.8	Potassium	K

A: CaCO3 (84.7 %)

Formula sum C Ca O3

Entry number	96-702-0140
Figure-of-Merit (FoM)	0.890141
Total number of peaks	43
Peaks in range	16
Peaks matched	16
Intensity scale factor	0.95
Space group	R -3 c
Crystal system	trigonal (hexagonal axes)
Unit cell	a= 4.9869 Å c= 17.0335 Å
I/ cor	3.14
Calc. density	2.717 g/cm ³
Reference	Nielsen Renie Birkedal, Norby Poul, Kongshaug Kjell Ove, Fjellvåg Helmer, "Synthesis, crystal structure and thermal properties of Ca ₆ (C ₁₂ H ₁₄ O ₄) ₄ (CO ₃)(OH) ₂ (H ₂ O) _x --a 3D inorganic hybrid material.", Dalton transactions (Cambridge, England : 2003) 41(39) , 12082-12089 (2012)

B: Quartz (10.0 %)

Formula sum	O ₂ Si
Entry number	96-900-5022
Figure-of-Merit (FoM)	0.674493
Total number of peaks	35
Peaks in range	14
Peaks matched	7
Intensity scale factor	0.12
Space group	P 32 2 1
Crystal system	trigonal (hexagonal axes)
Unit cell	a= 4.9509 Å c= 5.4285 Å
I/ cor	3.24
Calc. density	2.596 g/cm ³
Reference	Kihara K., "An X-ray study of the temperature dependence of the quartz structure Sample: at T = 697 K", European Journal

of Mineralogy **2**, 63-77 (1990)

C: Periclase (3.0 %)

Formula sum	Mg O
Entry number	96-900-6811
Figure-of-Merit (FoM)	0.717729
Total number of peaks	10
Peaks in range	3
Peaks matched	2
Intensity scale factor	0.03
Space group	F m -3 m
Crystal system	Cubic
Unit cell	a= 4.1515 Å
I/Icor	3.26
Calc. density	3.741 g/cm ³
Reference	Zhang J., "Effect of pressure on the thermal expansion of MgO up to 8.2 GPa Sample: Run3 at T = 473 K, P = 8.21 GPa", <i>Physics and Chemistry of Minerals</i> 27 , 145-148 (2000)

D: Magnetite (1.5 %)

Formula sum	Fe ₃ O ₄
Entry number	96-900-5813
Figure-of-Merit (FoM)	0.606280
Total number of peaks	34
Peaks in range	8
Peaks matched	6
Intensity scale factor	0.03
Space group	F d -3 m
Crystal system	Cubic
Unit cell	a= 8.3778 Å

I/lor	6.20
Calc. density	5.230 g/cm ³
Reference	Finger L. W., Hazen R. M., Hofmeister A. M., "High-pressure crystal chemistry of spinel (MgAl ₂ O ₄) and magnetite (Fe ₃ O ₄): comparisons with silicate spinels Sample: P = 0.001 kbar", Physics and Chemistry of Minerals 13 , 215-220 (1986)

E: Potassium (0.8 %)

Formula sum	K
Entry number	96-901-1989
Figure-of-Merit (FoM)	0.623095
Total number of peaks	14
Peaks in range	4
Peaks matched	4
Intensity scale factor	0.02
Space group	F m -3 m
Crystal system	Cubic
Unit cell	a= 5.0250 Å
I/lor	7.04
Calc. density	2.047 g/cm ³
Reference	Liu L., "Compression and polymorphism of potassium to 400 Kbar Locality: synthetic Sample: fcc at P = 15 GPa", Journal of Physics and Chemistry of Solids 47 , 1067-1072 (1986)

Search-Match

Settings

Reference database used	COD-Inorg REV81284 2013.04.15
Automatic zeropoint adaptation	Yes
Minimum figure-of-merit (FoM)	0.60
Parameter/influence 2theta	0.50
Parameter/influence intensities	0.50

Parameter multiple/single phase(s) 0.50

Selection Criteria

Elements:

Elements that must NOT be present:

All elements not mentioned above

Peak List

No.	2theta [°]	d [Å]	I/I0	FWHM	Matched
1	20.67	4.2927	8.35	0.2400	B
2	20.78	4.2722	13.07	0.2400	
3	20.91	4.2451	10.67	0.2400	
4	22.88	3.8842	18.36	0.2400	
5	23.08	3.8506	73.01	0.2400	A
6	26.53	3.3574	220.24	0.2400	B
7	26.83	3.3205	8.41	0.2400	
8	28.96	3.0809	8.97	0.2400	
9	29.44	3.0311	1000.00	0.2400	A
10	29.82	2.9935	18.13	0.2400	
11	29.94	2.9818	8.39	0.2400	D
12	30.73	2.9074	13.40	0.2400	E
13	30.87	2.8943	9.44	0.2400	
14	31.41	2.8454	22.11	0.2400	
15	31.54	2.8342	16.26	0.2400	A
16	32.27	2.7715	9.92	0.2400	
17	32.39	2.7617	23.95	0.2400	
18	32.56	2.7481	11.81	0.2400	
19	35.49	2.5275	35.49	0.2400	D
20	35.65	2.5167	16.73	0.2400	E

21	36.03	2.4909	111.62	0.2400	A,B
22	38.87	2.3151	29.18	0.2400	
23	38.99	2.3084	11.15	0.2400	
24	39.44	2.2829	146.87	0.2400	A,B
25	42.40	2.1303	11.06	0.2400	B
26	42.71	2.1152	32.32	0.2400	
27	43.22	2.0916	130.60	0.2400	A,D
28	43.55	2.0765	33.69	0.2400	C
29	43.67	2.0712	28.96	0.2400	
30	47.16	1.9258	41.95	0.2400	A
31	47.30	1.9203	40.25	0.2400	D
32	47.60	1.9087	136.05	0.2400	A
33	48.57	1.8728	145.12	0.2400	A
34	51.43	1.7753	15.39	0.2400	E
35	51.60	1.7698	8.75	0.2400	
36	56.60	1.6248	23.16	0.2400	A
37	56.76	1.6205	13.72	0.2400	B,D
38	57.49	1.6018	58.60	0.2400	A
39	57.68	1.5968	25.60	0.2400	
40	57.81	1.5937	12.53	0.2400	A
41	60.70	1.5246	32.30	0.2400	A
42	60.85	1.5212	31.63	0.2400	
43	60.97	1.5185	23.88	0.2400	
44	61.11	1.5152	18.46	0.2400	A
45	61.29	1.5112	13.43	0.2400	E
46	61.39	1.5090	16.48	0.2400	A
47	61.57	1.5050	13.39	0.2400	
48	62.77	1.4790	10.22	0.2400	D
49	62.91	1.4762	13.10	0.2400	

50	63.08	1.4726	24.73	0.2400	A
51	63.20	1.4701	23.12	0.2400	
52	63.35	1.4670	18.95	0.2400	C
53	63.46	1.4647	13.42	0.2400	
54	63.57	1.4624	12.27	0.2400	
55	63.67	1.4603	9.23	0.2400	B

Rietveld Refinement using FullProf

Calculation was not run or did not converge.

Diffraction Pattern Graphics



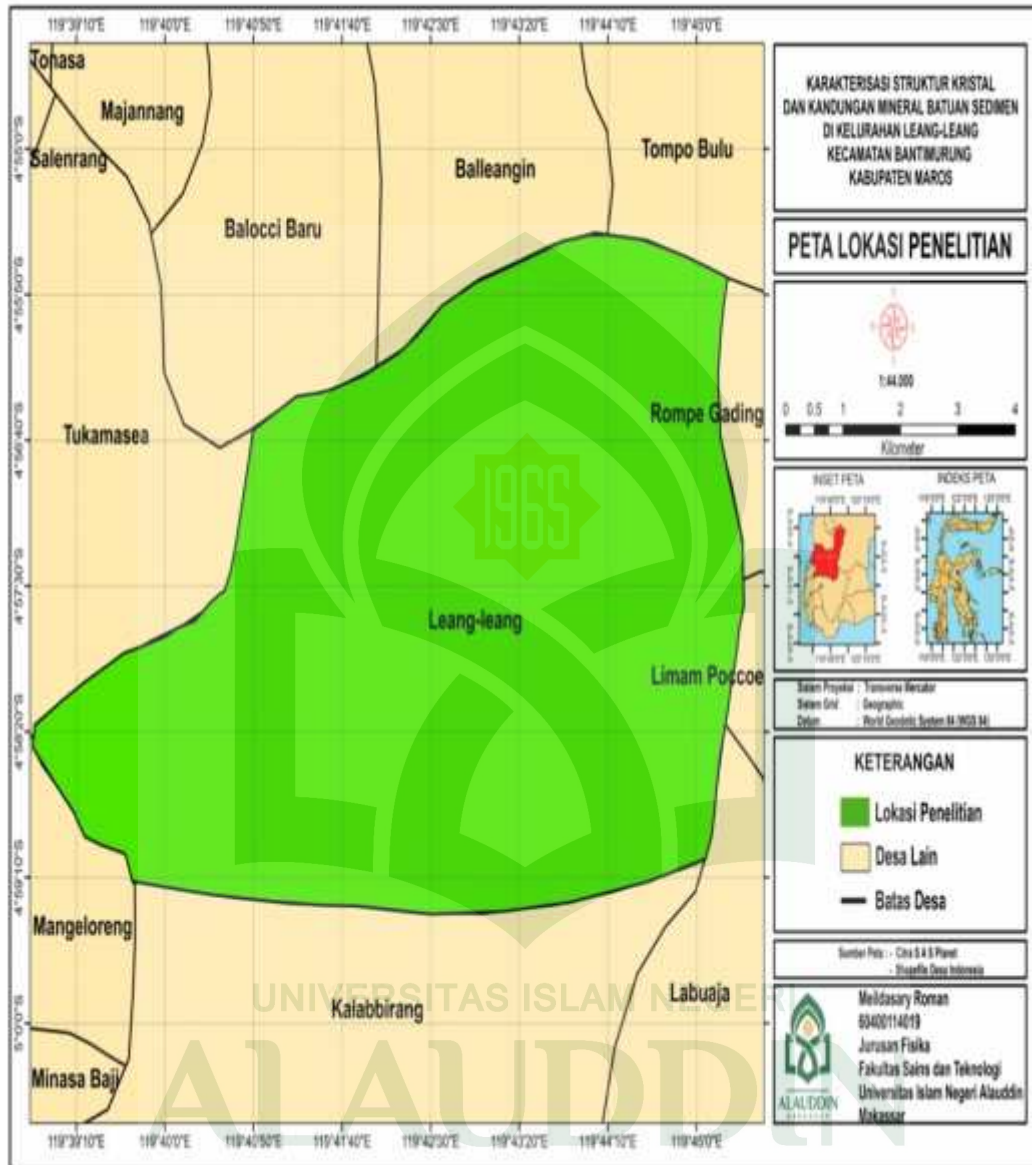
Match! Copyright © 2003-2013 CRYSTAL IMPACT, Bonn, Germany



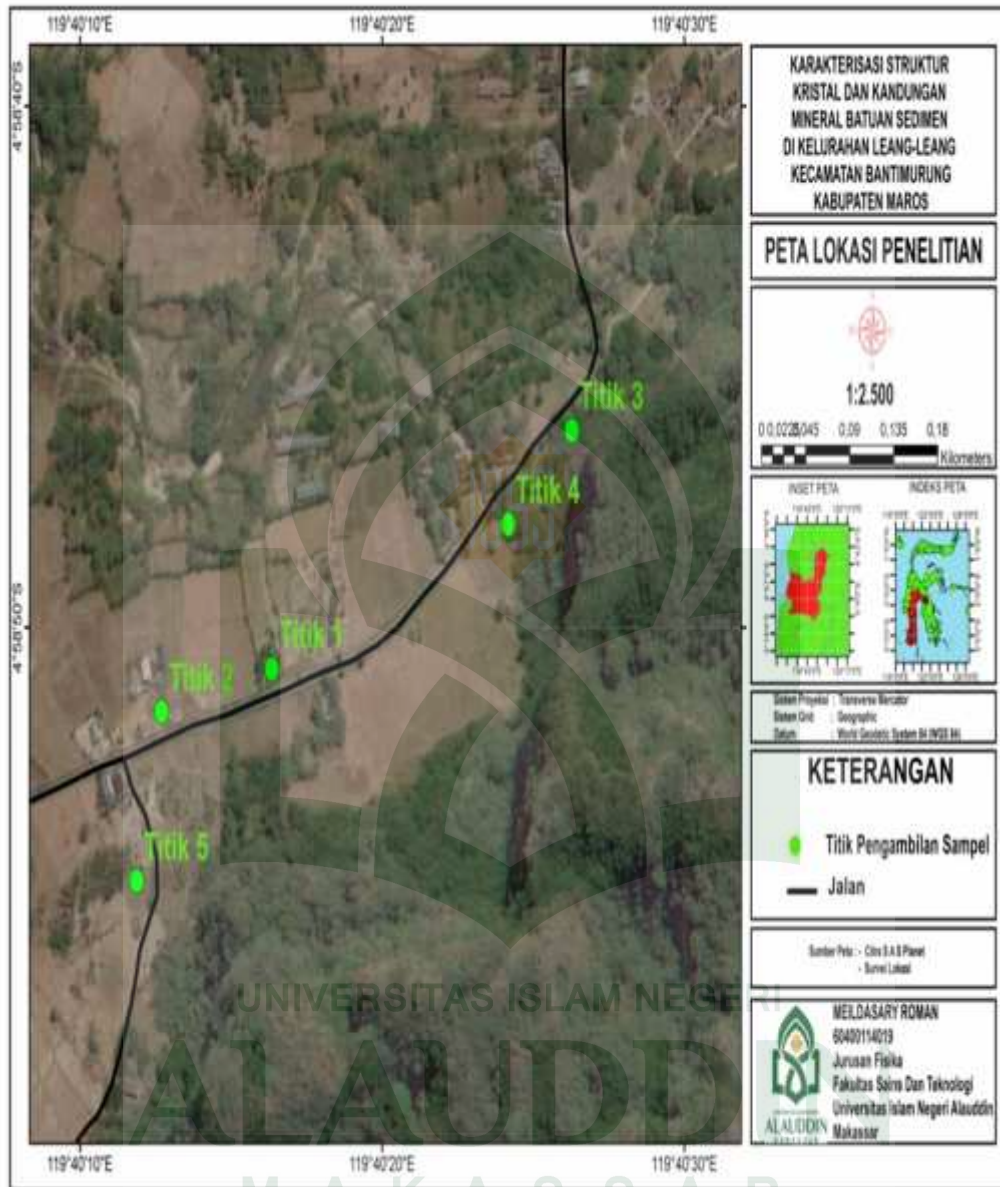
LAMPIRAN III

PETA

UNIVERSITAS ISLAM NEGERI
ALAUDDIN
M A K A S S A R



Gambar 8: Peta lokasi penelitian



Gambar 9: Peta titik pengambilan sampel



LAMPIRAN IV

DOKUMENTASI PENELITIAN

UNIVERSITAS ISLAM NEGERI
ALAUDDIN
M A K A S S A R

ALAT DAN BAHAN



Gambar 10: X-Ray Diffraction (XRD)



Gambar 11: GPS



Gambar 12: Pahat



Gambar 13: Lumpang



Gambar 14: Ayakan 170 Mesh



Gambar 15: Kantong Sampel

TAHAP PENGAMBILAN SAMPEL



Gambar 16: Memplot titik koordinat pada titik pertama



Gambar 17: Melakukan pengambilan sampel dengan cara memahat menggunakan pahatan



Gambar 18: Menghancurkan batuan menjadi pecahan-pecahan kecil yang setelah itu dimasukkan kedalam kantong sampel



Gambar 19: Memplot titik koordinat pada titik kedua dengan perlakuan yang sama pada titik pertama



Gambar 20: Memplot titik koordinat pada titik ketiga dengan perlakuan yang sama pada titik pertama



Gambar 21: Memplot titik koordinat pada titik keempat dengan perlakuan yang sama pada titik pertama



Gambar 22: Memplot titik koordinat pada titik kelima dengan perlakuan yang sama pada titik pertama

PREPARASI SAMPEL



Gambar 23: Menghaluskan sampel batuan menggunakan lumpang



Gambar 24: Mengayak sampel menggunakan ayakan 170 Mesh

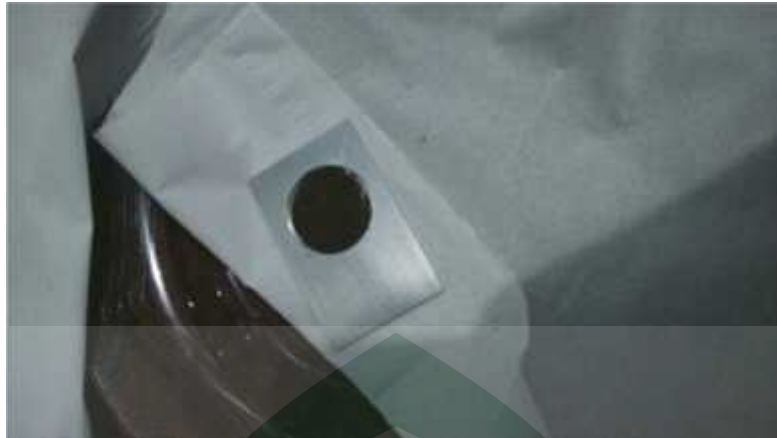


Gambar 25: Memasukkan sampel yang telah di ayak kedalam tempat sampel yang selanjutnya akan diuji karakterisasi material menggunakan *X-Ray Diffraction* (XRD)

PROSES MENGGUNAKAN ALAT *X-Ray Diffraction* (XRD)



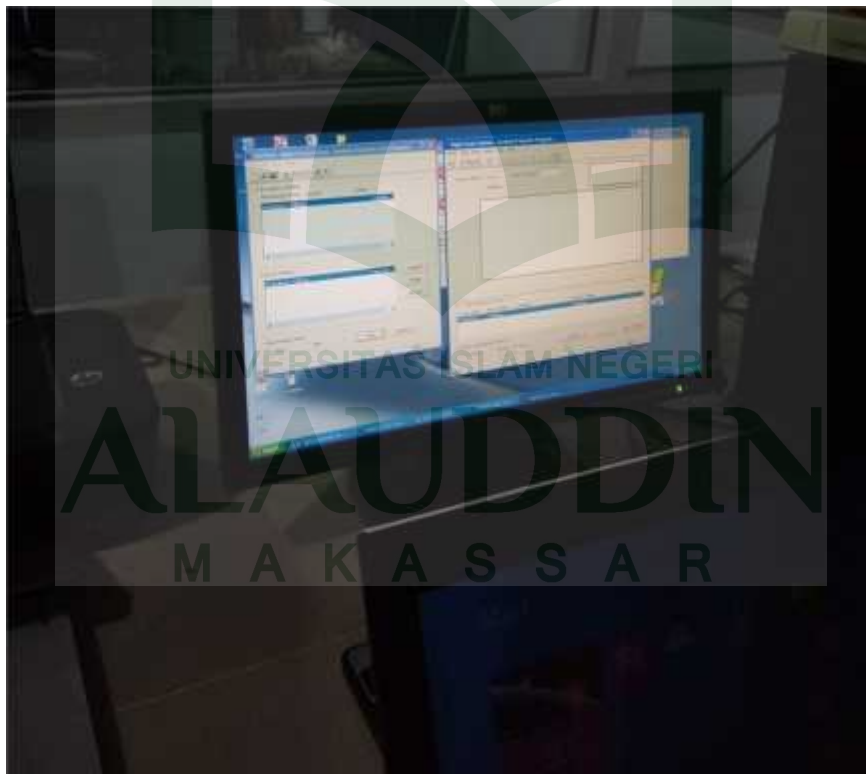
Gambar 26: *Alat X-Ray Diffraction* (XRD)



Gambar 27: Memasukkan sampel kedalam Plat Aluminium



Gambar 28: Proses *X-Ray Diffraction* (XRD)

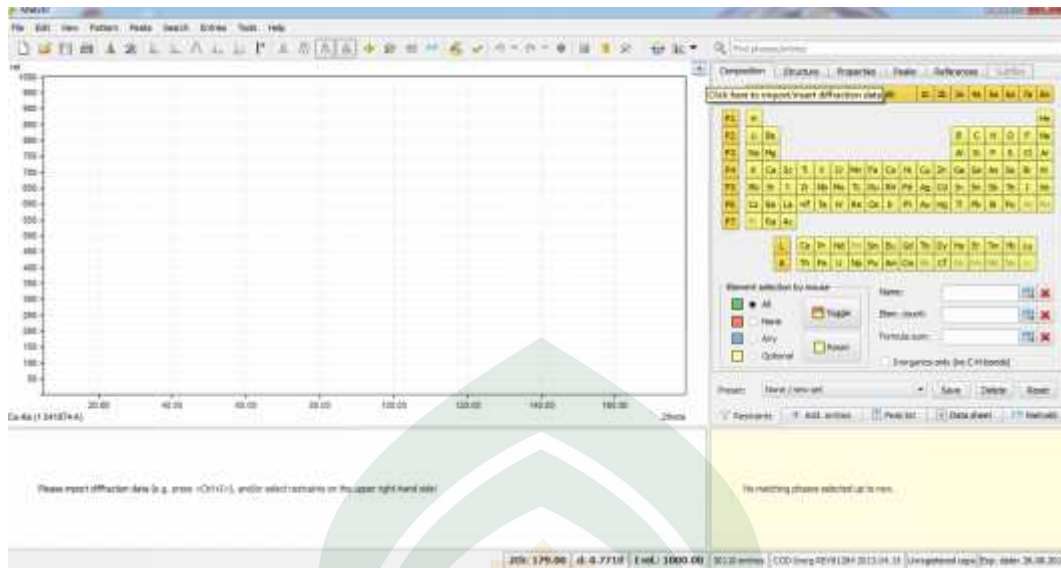


Gambar 28: Analisa sampel batuan pada monitor

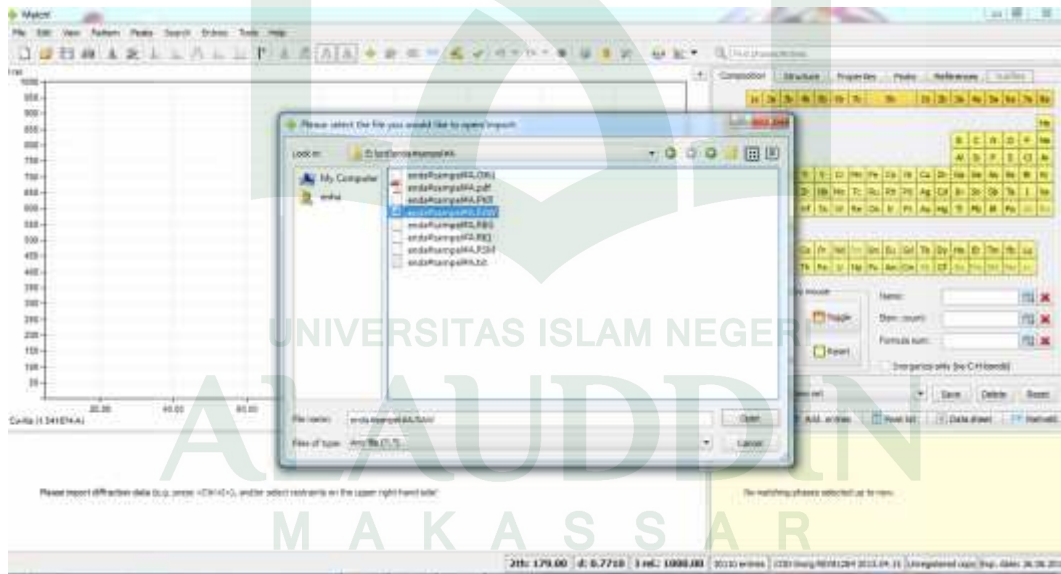
PROSES ANALISIS DATA MENGGUNAKAN SOFTWARE *SEARCH-MACTH*



Gambar 29: Proses awal membuka software *Search-Match* dengan double klik

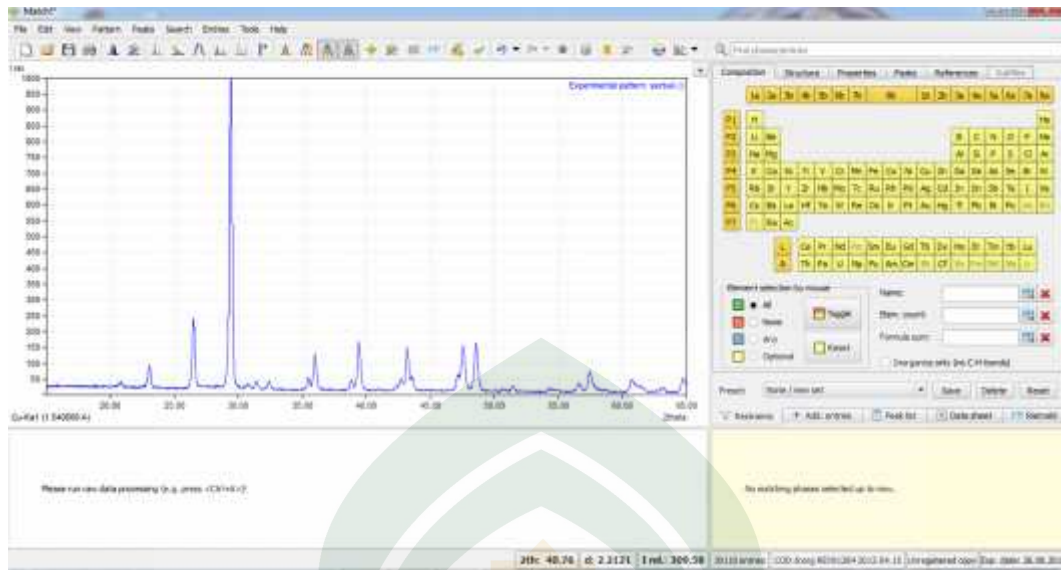


Gambar 30: Halaman utama untuk memulai software *Search-Match*

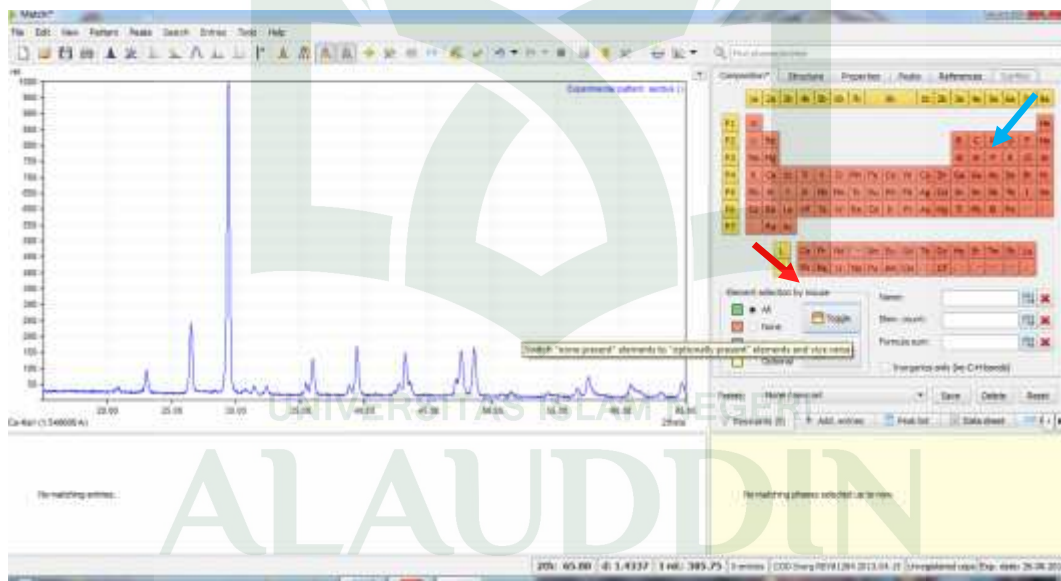


Gambar 31: Proses penginputan data mentah hasil difraksi sinar-X pada software

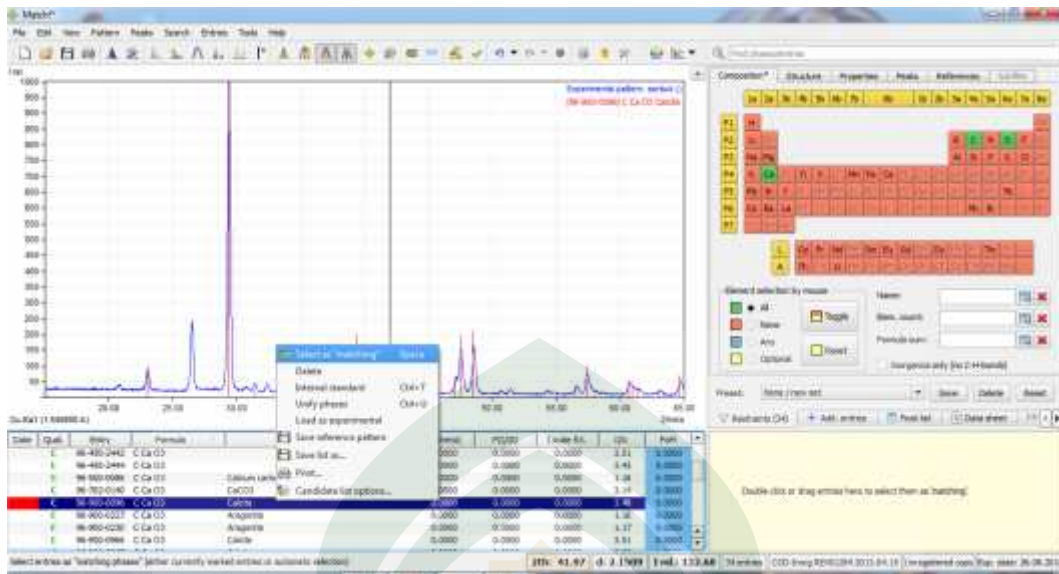
Search-Match



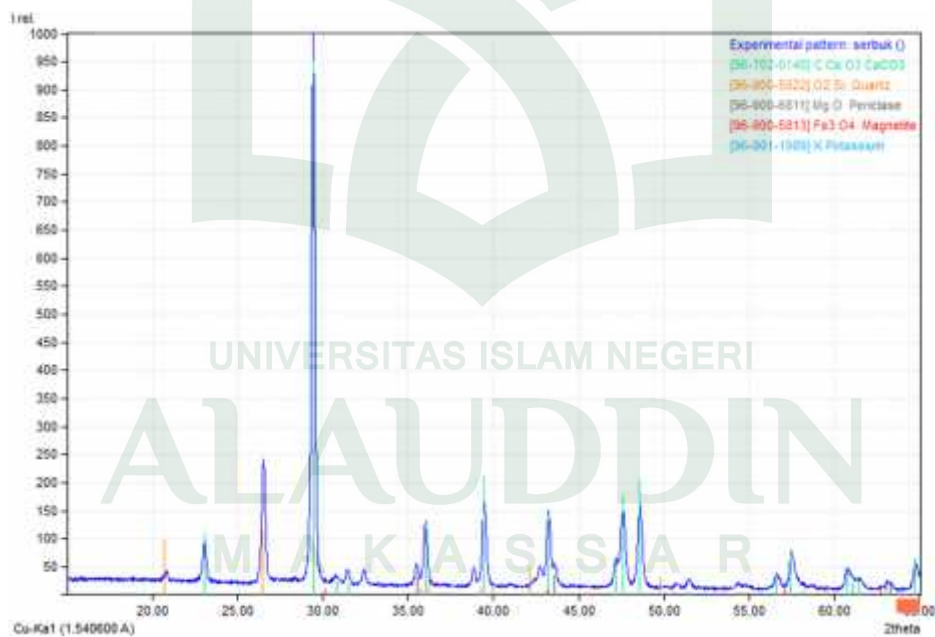
Gambar 32: Tampilan hasil grafik difraksi sinar-x pada software *Search-Match*



Gambar 33: Proses pencaharian kandungan mineral dari material hasil uji difraksi sinar-X pada software *Search-Match*



Gambar 34: Proses penyimpanan data mineral dengan puncak dari material hasil uji difraksi sinar-x pada software *Search-Match*



Gambar 35: Hasil dari proses pencarian kandungan mineral pasir besi

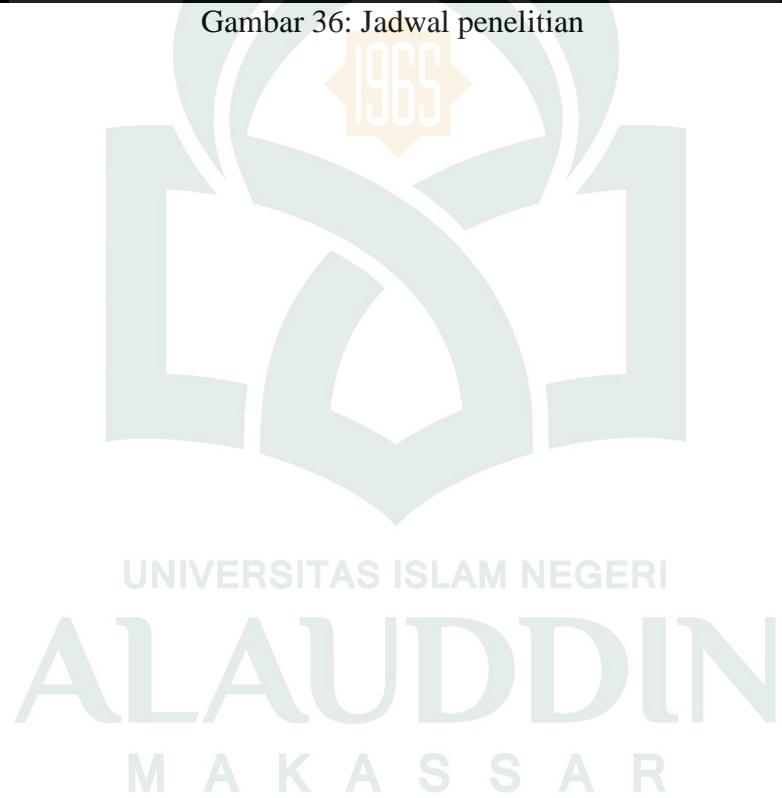


JADWAL PENELITIAN

NO	Jenis Kegiatan	Bulan						
		Desember	Januari	Februari	Maret	April	Mei	Juni
1	Studi Literatur	■	■	■	■	■	■	■
2	Survei Lapangan 1	■						
3	Kemantapan Penelitian	■						
4	Survei Lapangan 2			■				
5	Pengambilan Sampel				■			

6	Preparasi Sampel							
7	Analisis XRD							
8	Penyusunan Laporan Skripsi							
9	Penyajian Skripsi							

Gambar 36: Jadwal penelitian



RIWAYAT HIDUP



MEILDASARY ROMAN atau sering dipanggil “**MEILDA**”, lahir di Kendari pada tanggal 27 Mei 1996. Dia merupakan anak Kedua dari 2 bersaudara pasangan suami istri **Roman** dan **Nur Alam**. Pendidikan formal dimulai dari SD NEGERI 88 LOKA, KAB.ENREKANG pada tahun 2002 sampai tahun 2008, setelah itu penulis melanjutkan di SMP NEGERI 4 BARAKA, KAB.ENREKANG dan penulis melanjutkan Sekolahnya di MA NEGERI BARAKA, KAB.ENREKANG dan selesai tahun 2014. Penulis kemudian melanjutkan pendidikannya di perguruan tinggi Universitas Islam Negeri (UIN) Alauddin Makassar sampai dengan sekarang. Sampai dengan penulisan skripsi ini penulis masih terdaftar sebagai mahasiswi program studi S-1 Fisika Fakultas Sains dan Teknologi. Penulis berharap bahwa, semoga jurusan fisika ini nantinya dapat membawa penulis menuju tangga kesuksesan dan dapat menjadi tenaga praktisi dan peneliti dalam bidang ilmu fisika yang terintegritasi dengan ilmu keislaman, aamiin.